

Réseaux de neurones

IFT 780

Apprentissage par renforcement

Par

Antoine Théberge

Jusqu'à présent : apprentissage supervisé

Classification

Données: tuples (x,y)

x : images (p.e.)

y : classe

But: maximiser $p(y|x)$



Jusqu'à présent : apprentissage auto-supervisé

Génération

Données: seulement x

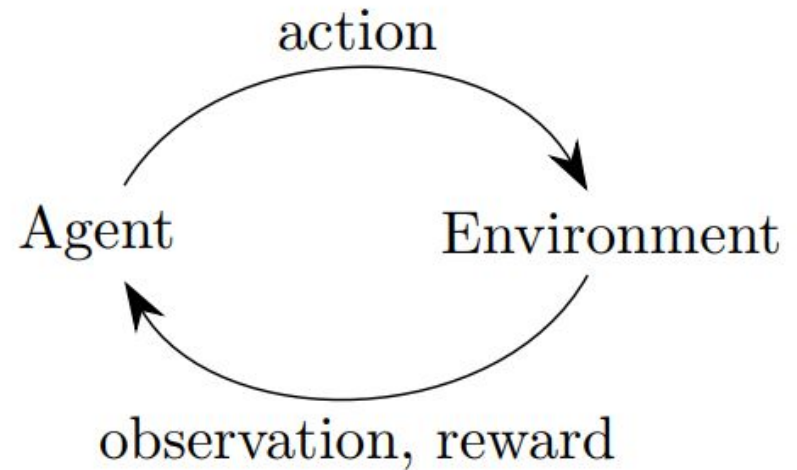
But: apprendre des caractéristiques utiles de x



Maintenant: apprentissage par renforcement (AR)

Données: tuples (s,a,r)

But: apprendre une politique qui maximisera r



Apprentissage par renforcement

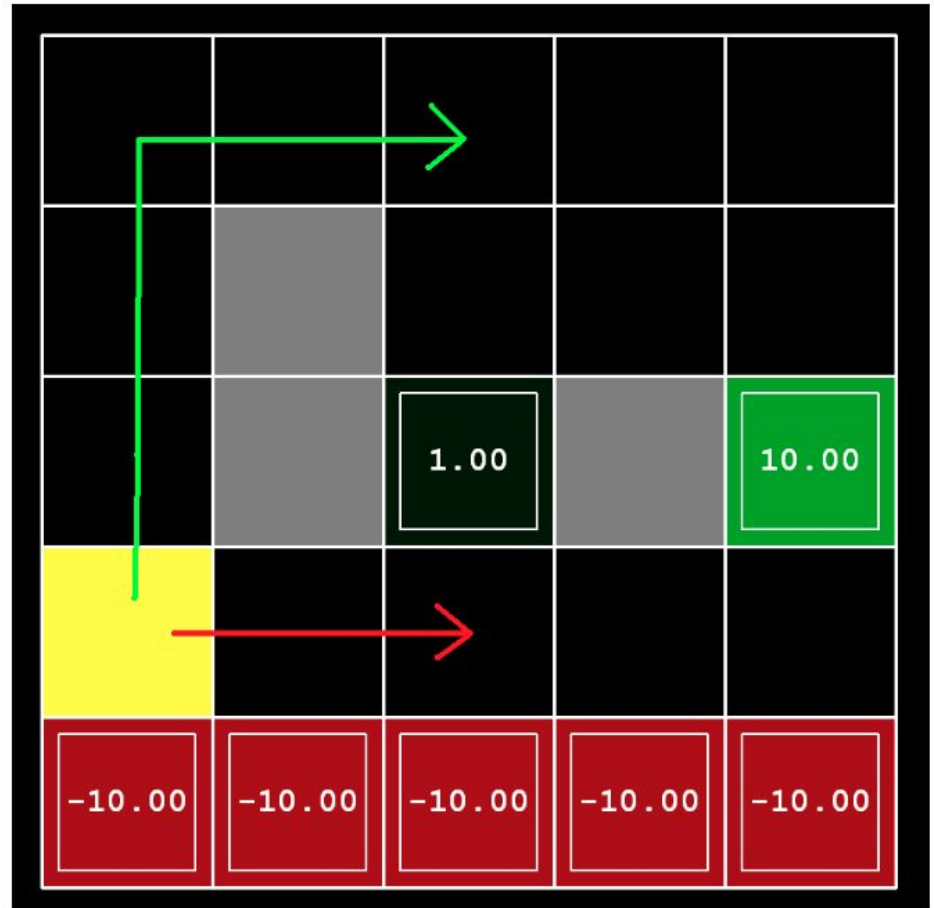
Example: “gridworld”

États: chaque position

Actions:

Haut/Bas/Gauche/Droite

Récompense: Indiqué à chaque case, 0 ailleurs



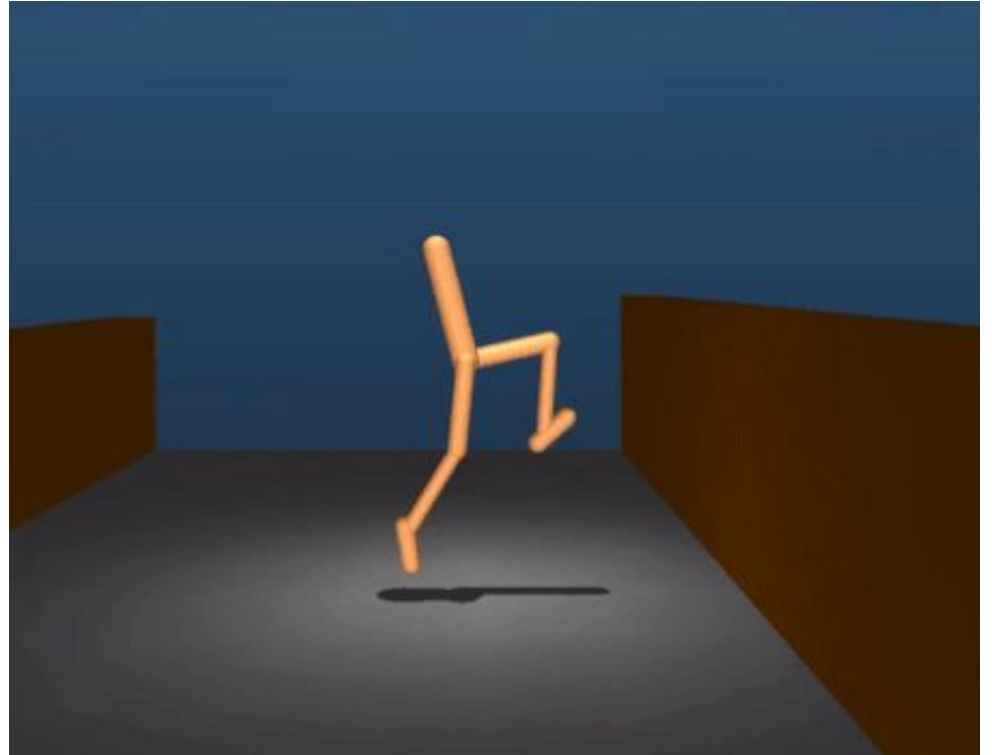
Apprentissage par renforcement

Exemple: Contrôle
robotique

États: Position des joints

Actions: Couple appliqué à
chaque joints

Récompense: +1 à chaque
“timestep” debout +
vélocité frontale



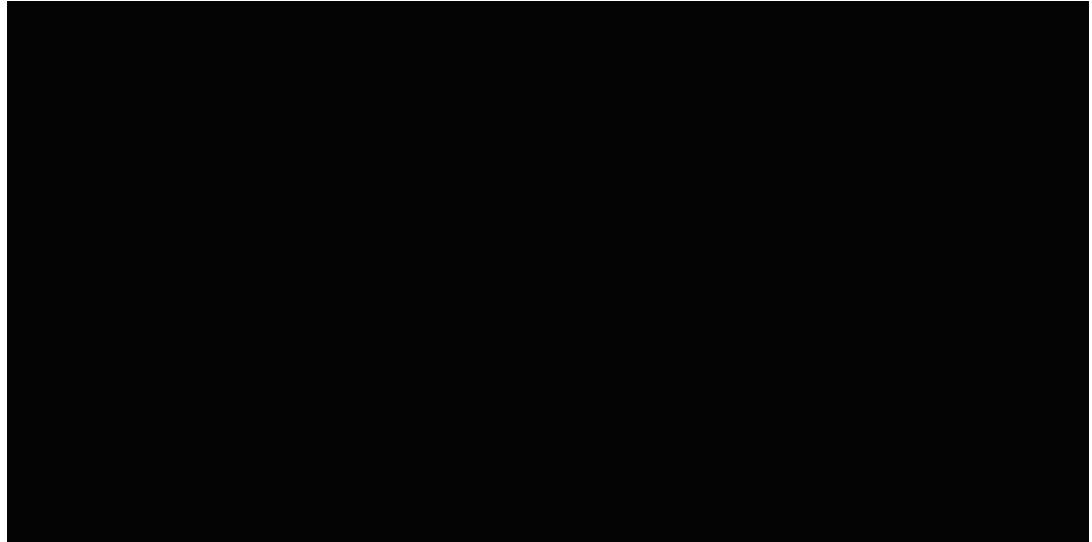
Apprentissage par renforcement

Exemple: Manipulation
robotique

États: Pixels de la caméra

Actions: Couple appliqué à
chaque joints

Récompense: Hauteur de la
pile



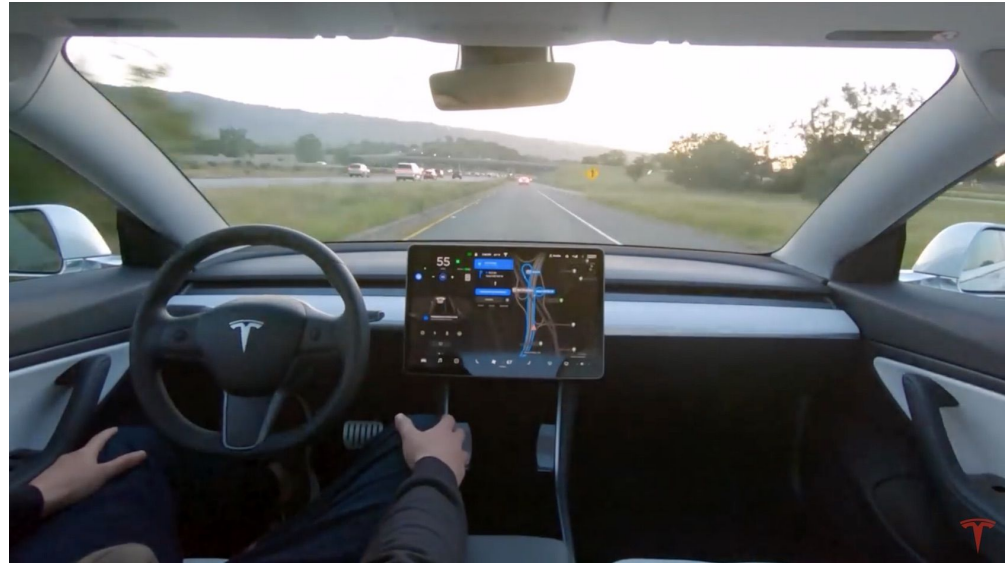
Apprentissage par renforcement

Exemple: Conduite autonome

États: Entrée de senseurs/caméras

Actions: Contrôles de la voiture

Récompense: Respecter le code de la route, arriver à destination



Apprentissage par renforcement

Exemple: Jeux vidéos

États: Pixels à l'écran

Actions: Boutons du
contrôleur

Récompense: Fluctuations
du score



Apprentissage par renforcement

Exemple: Jeux vidéos

États: Pixels à l'écran

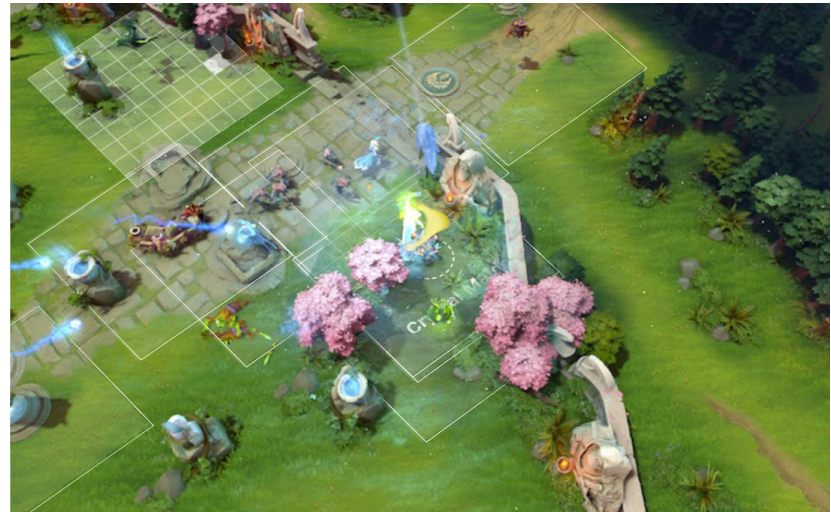
Actions: Clavier + souris

Récompense:

Gagner/Perdre la partie



<https://www.deepmind.com/blog/alphastar-mastering-the-real-time-strategy-game-starcraft-ii>



<https://openai.com/blog/openai-five/>

Apprentissage par renforcement

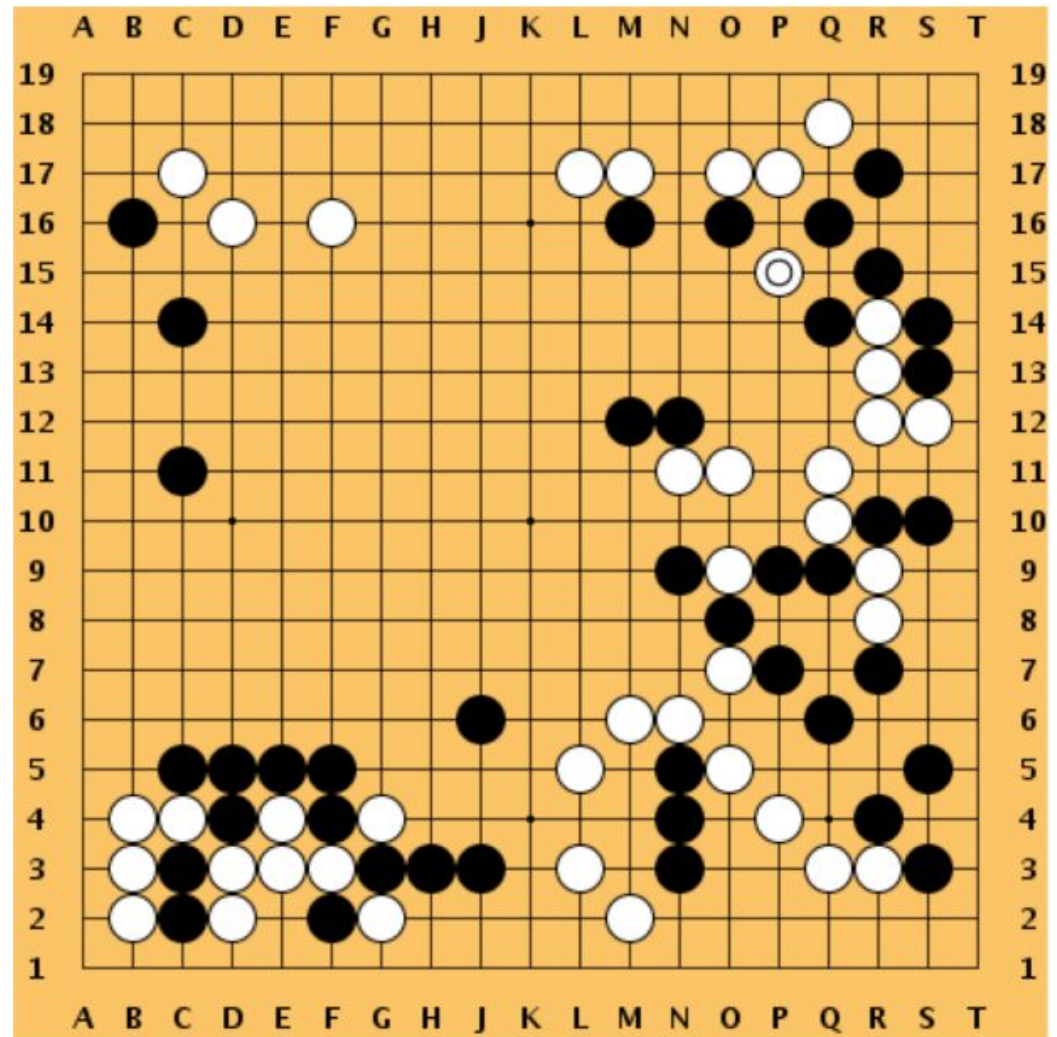
Exemple: Jeux de table

États: Planche de jeu

Actions: Placer une pierre

Récompense:

Gagner/Perdre la partie



Markov decision process (MDP)

Extension des chaînes de markov (S, A, R, P, γ)

S: Ensemble d'états (*states*) $s \in S$

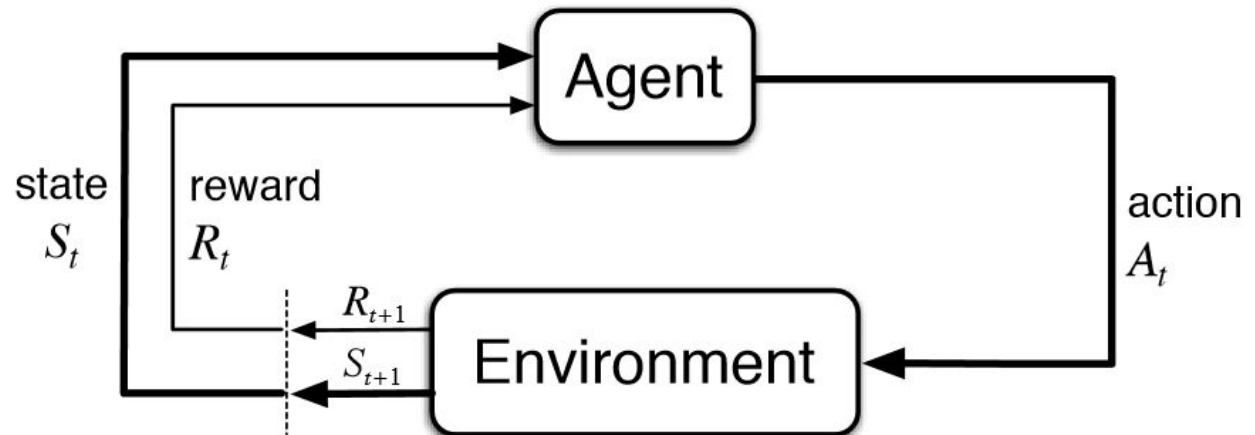
A: Ensemble d'actions $a \in A$

R: Fonction de récompense $r : S \times A \rightarrow \mathbb{R}; r(s_t, a_t)$

P: Fonction de transition $p : S \times A \rightarrow S; p(s_{t+1} | s_t, a_t)$

γ : Facteur de récompense $0 < \gamma < 1$

π : Politique $S \rightarrow A; a \leftarrow \pi(s_t)$



Markov decision process (MDP)

Extension des chaînes de markov (S, A, R, P, γ)

S: Ensemble d'états (*states*) $s \in S$

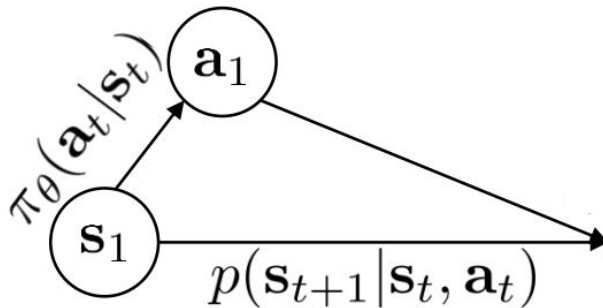
A: Ensemble d'actions $a \in A$

R: Fonction de récompense $r : S \times A \rightarrow \mathbb{R}; r(s_t, a_t)$

P: Fonction de transition $p : S \times A \rightarrow S ; p(s_{t+1} | s_t, a_t)$

γ : Facteur de récompense $0 < \gamma < 1$

π : Politique $S \rightarrow A ; a \leftarrow \pi(s_t)$



Markov decision process (MDP)

Extension des chaînes de markov (S, A, R, P, γ)

S: Ensemble d'états (*states*) $s \in S$

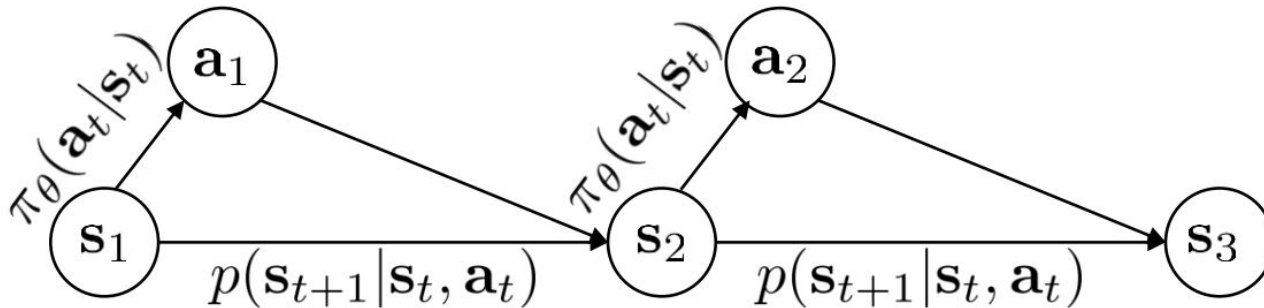
A: Ensemble d'actions $a \in A$

R: Fonction de récompense $r : S \times A \rightarrow \mathbb{R}; r(s_t, a_t)$

P: Fonction de transition $p : S \times A \rightarrow S; p(s_{t+1} | s_t, a_t)$

γ : Facteur de récompense $0 < \gamma < 1$

π : Politique $S \rightarrow A; a \leftarrow \pi(s_t)$



Markov decision process (MDP)

Extension des chaînes de markov (S, A, R, P, γ)

S: Ensemble d'états (*states*) $s \in S$

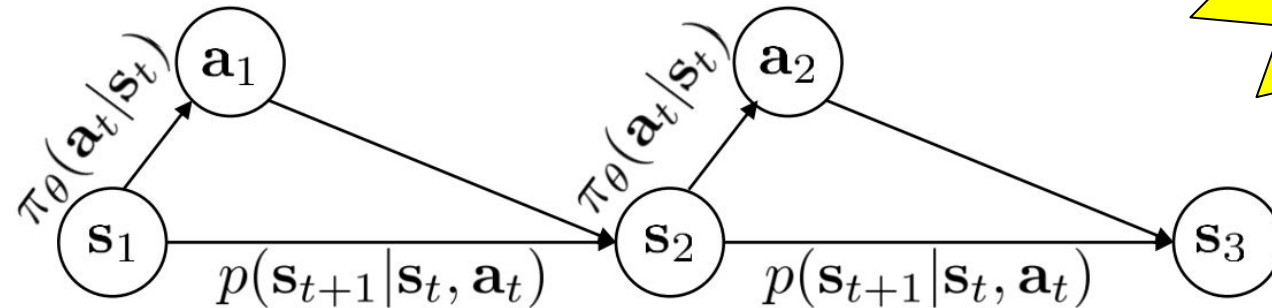
A: Ensemble d'actions $a \in A$

R: Fonction de récompense $r : S \times A \rightarrow \mathbb{R}; r(s_t, a_t)$

P: Fonction de transition $p : S \times A \rightarrow S; p(s_{t+1} | s_t, a_t)$

γ : Facteur de récompense $0 < \gamma < 1$

π : Politique $S \rightarrow A; a \leftarrow \pi(s_t)$



Propriété de
Markov

Markov decision process (MDP)

Extension des chaînes de markov (S, A, R, P, γ)

S: Ensemble d'états (*states*) $s \in S$

A: Ensemble d'actions $a \in A$

R: Fonction de récompense $r : S \times A \rightarrow \mathbb{R}; r(s_t, a_t)$

P: Fonction de transition $p : S \times A \rightarrow S; p(s_{t+1} | s_t, a_t)$

γ : Facteur de récompense $0 < \gamma < 1$

π : Politique $S \rightarrow A; a \leftarrow \pi(s_t)$

Objectif: Trouver la politique maximisant le *retour* espéré

$$\pi^* = \arg \max_{\pi} \mathbb{E}_{s, a \sim \pi} \left[\sum_t^T \gamma^t r(s_t, a_t) \right]$$

Exemple: Gridworld

Actions:

- Haut, bas, gauche, droite

Récompense:

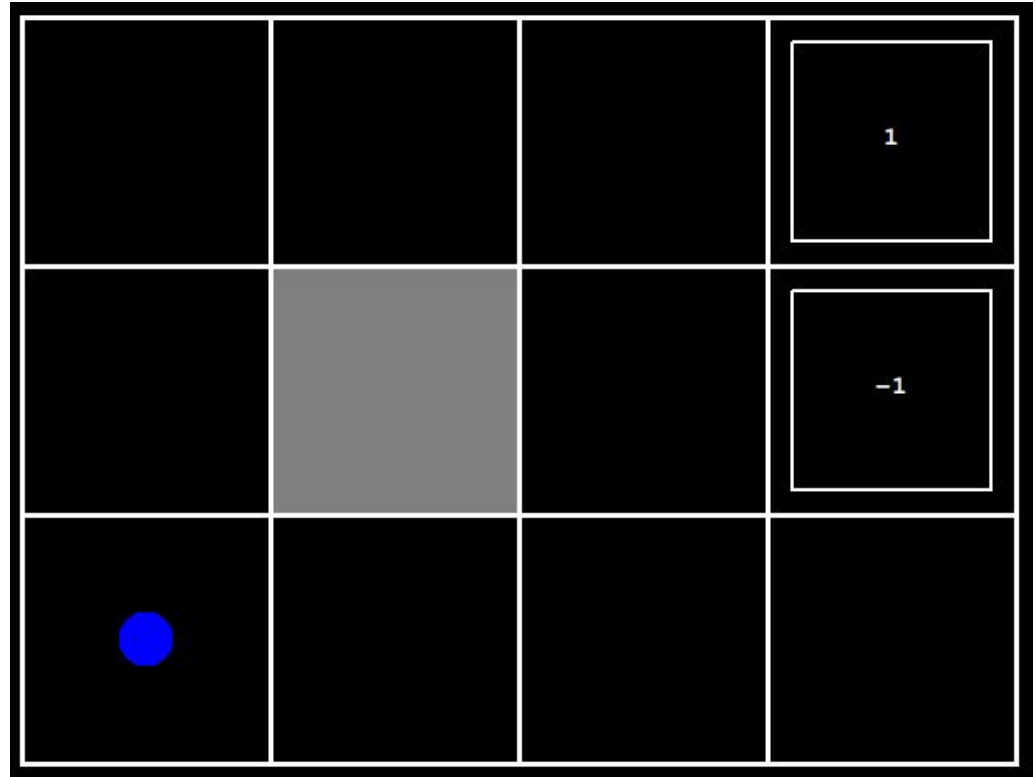
- +1, -1, 0 ailleurs

États:

- Position actuelle

Transitions:

- 0.5 selon l'action
- 0.5 aléatoire



Exemple: Gridworld

Actions:

- Haut, bas, gauche, droite

Récompense:

- +1, -1, 0 ailleurs

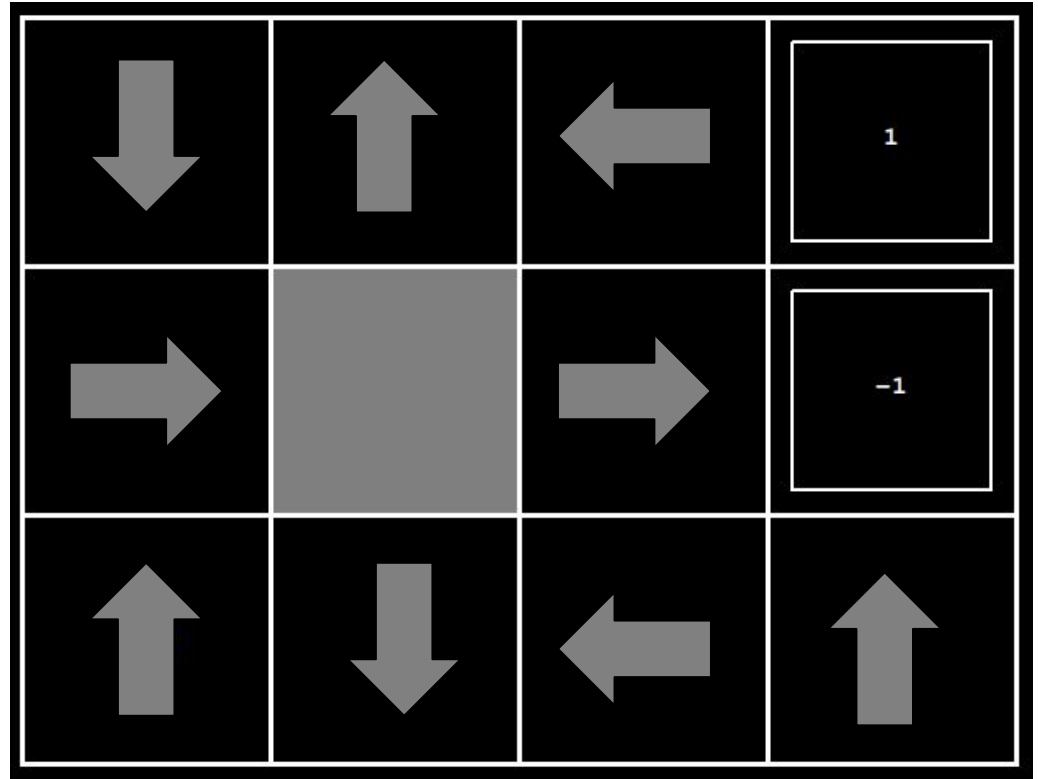
États:

- Position actuelle

Transitions:

- 0.5 selon l'action
- 0.5 aléatoire

Politique: aléatoire



Exemple: Gridworld

Actions:

- Haut, bas, gauche, droite

Récompense:

- +1, -1, 0 ailleurs

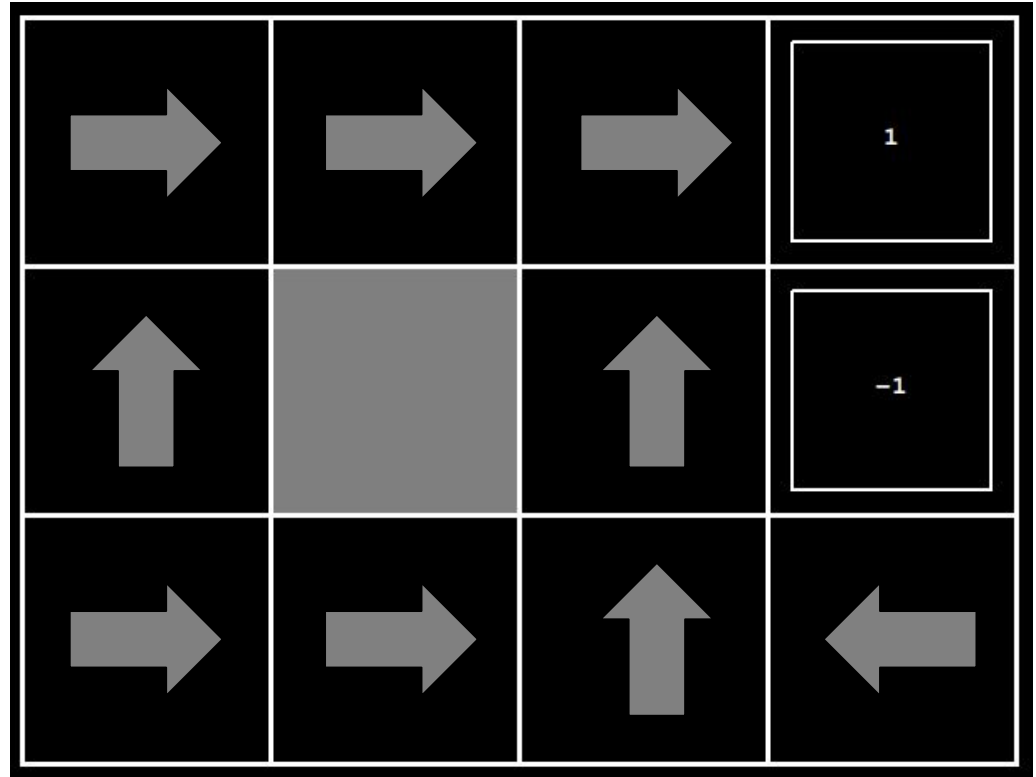
États:

- Position actuelle

Transitions:

- 0.5 selon l'action
- 0.5 aléatoire

Politique: un peu meilleure



Exemple: Gridworld

Actions:

- Haut, bas, gauche, droite

Récompense:

- +1, -1, 0 ailleurs

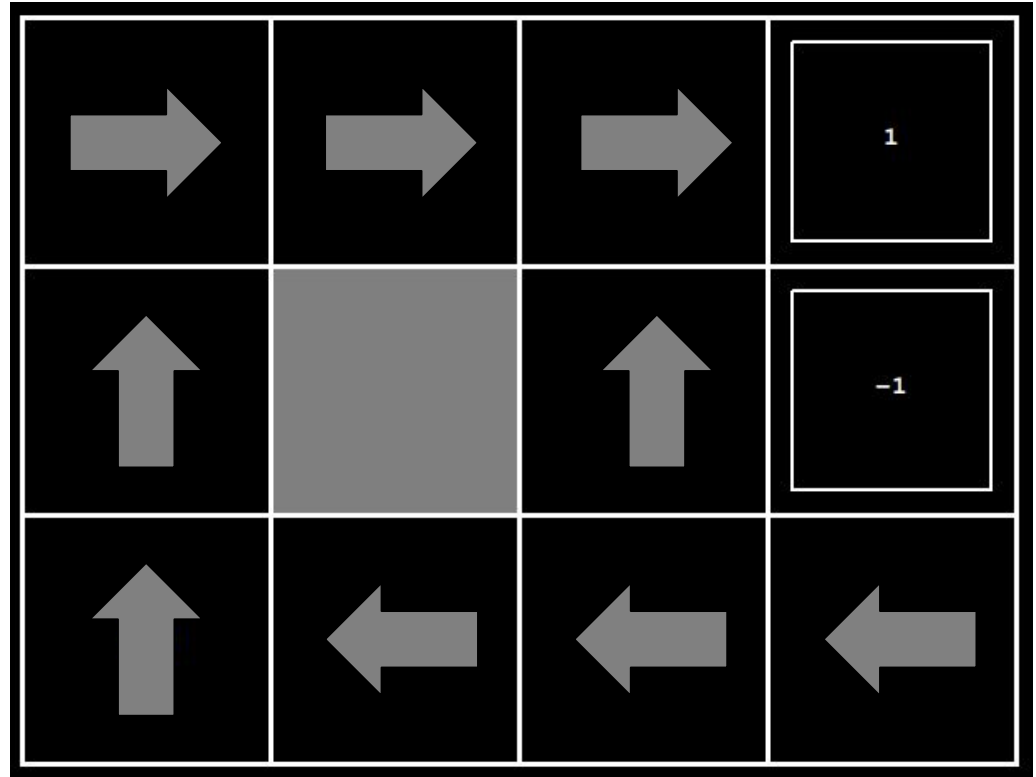
États:

- Position actuelle

Transitions:

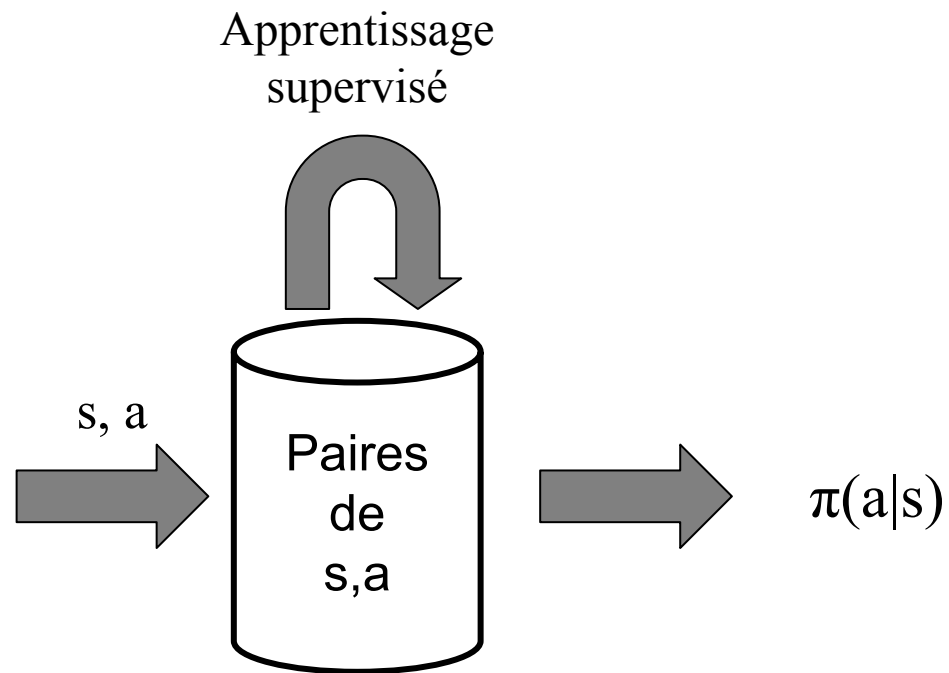
- 0.5 selon l'action
- 0.5 aléatoire

Politique: optimale



Comment trouver la politique optimale ?

Solution (trop) simple: utiliser l'apprentissage supervisé



Comment trouver la politique optimale ?

Solution (trop) simple: utiliser l'apprentissage supervisé

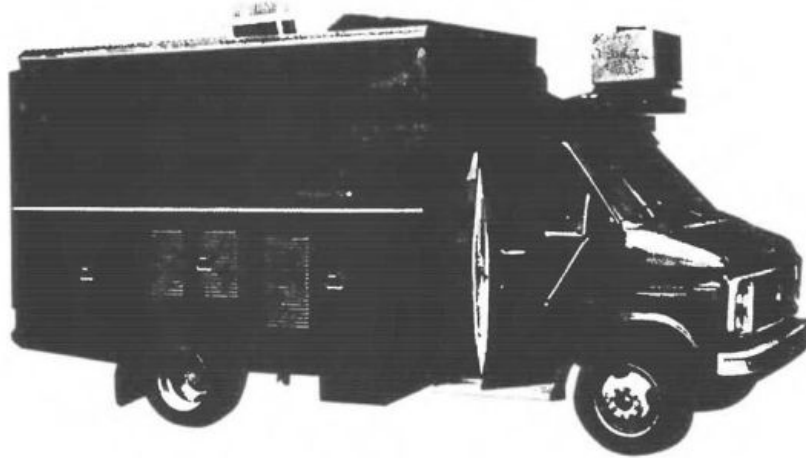


Figure 3: NAVLAB, the CMU autonomous navigation test vehicle.

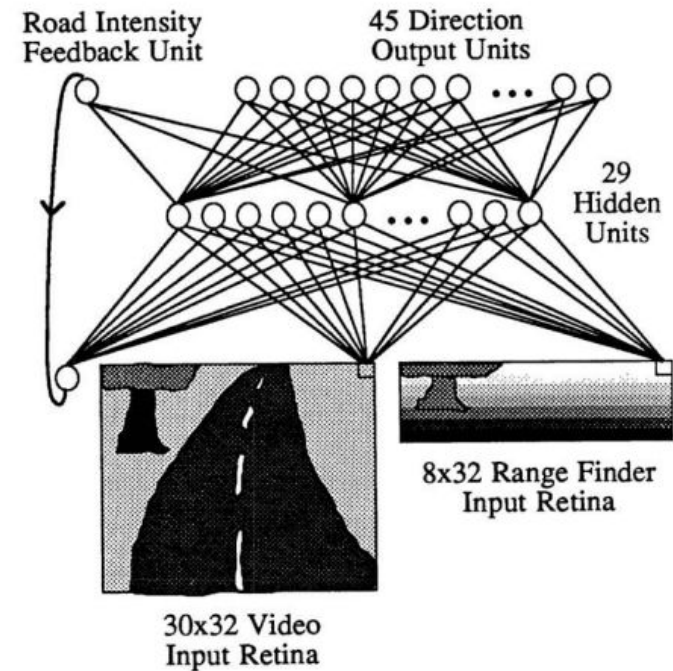


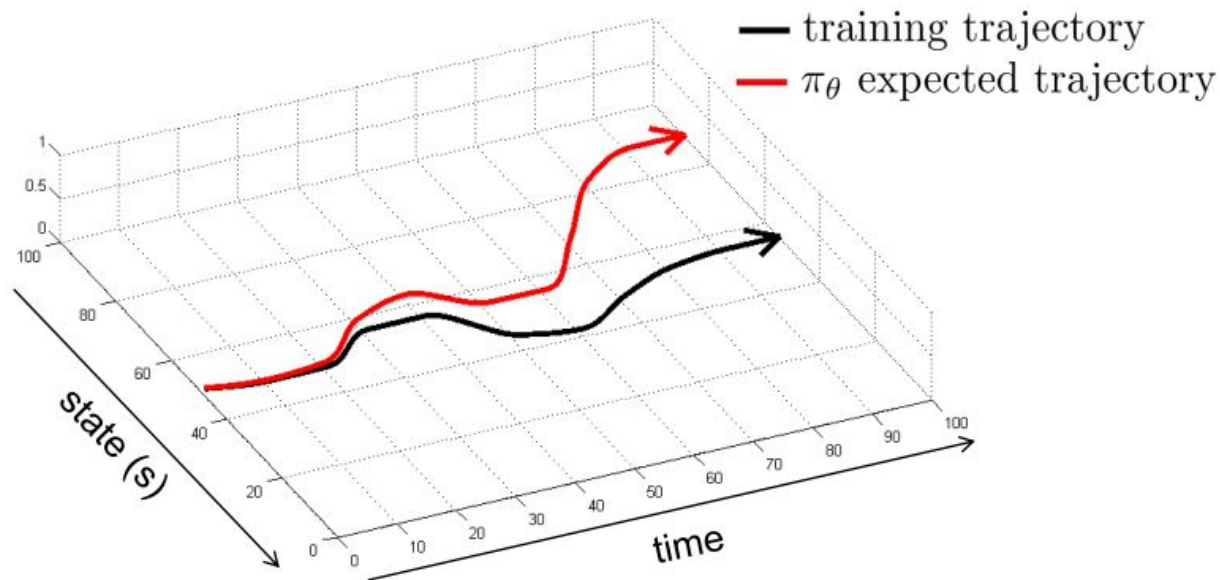
Figure 1: ALVINN Architecture

<https://www.youtube.com/watch?v=ntlczNQKfjQ>

Pomerleau, D. A. (1988). Alvin: An autonomous land vehicle in a neural network. *Advances in neural information processing systems*, 1.

Comment trouver la politique optimale ?

Solution (trop) simple: utiliser l'apprentissage supervisé
... ne fonctionne pas

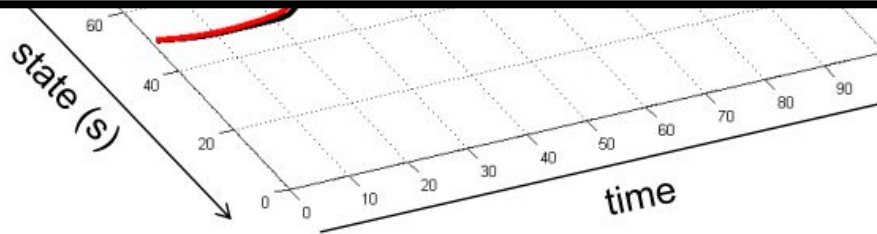


source: Sergey Levine, CS285

Comment trouver la politique optimale ?

Solution (trop) simple: utiliser l'apprentissage supervisé
... ne fonctionne pas

There are difficulties involved with training “on-the-fly” with real images. If the network is not presented with sufficient variability in its training exemplars to cover the conditions it is likely to encounter when it takes over driving from the human operator, it will not develop a sufficiently robust representation and will perform poorly. In addition, the network must not solely be shown examples of accurate driving, but also how to recover (i.e. return to the road center) once a mistake has been made. Partial initial training on a variety of simulated road images should help eliminate these difficulties and facilitate better performance.

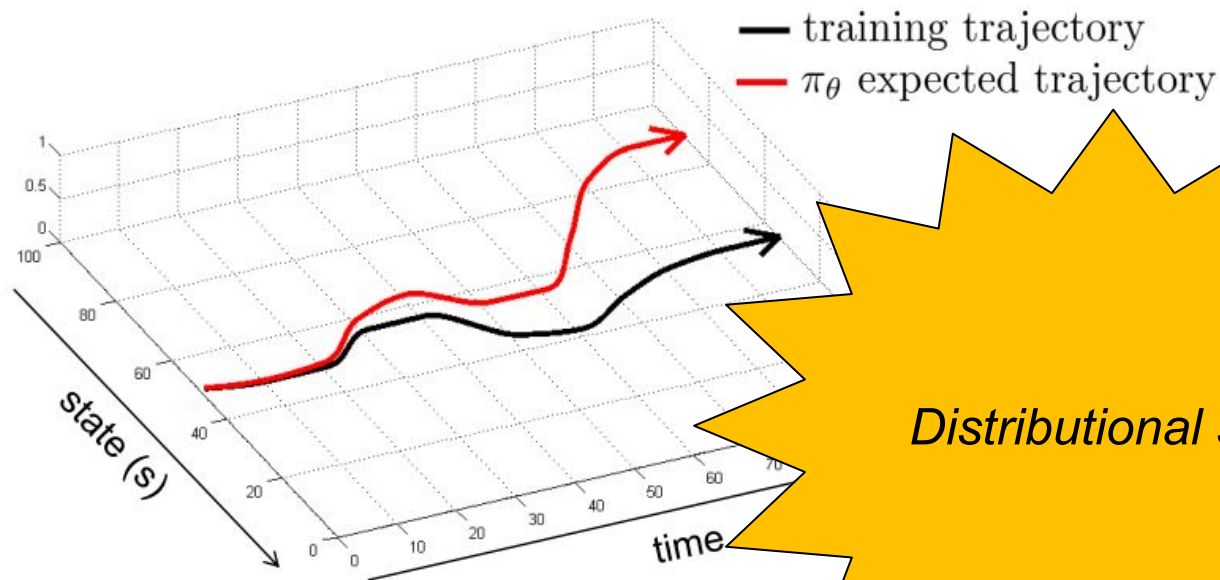


Pomerleau, D. A. (1988). Alvin: An autonomous land vehicle in a neural network. *Advances in neural information processing systems*, 1.

source: Sergey Levine, CS285

Comment trouver la politique optimale ?

Solution (trop) simple: utiliser l'apprentissage supervisé
... ne fonctionne pas



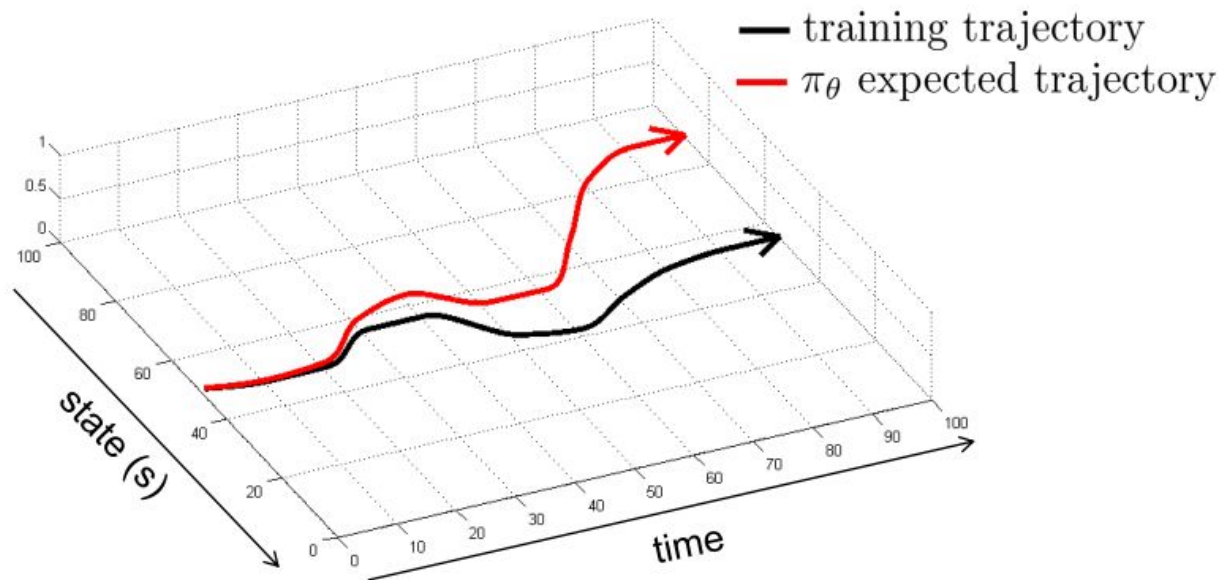
Distributional shift

Comment trouver la politique optimale ?

Solution (trop) simple: utiliser l'apprentissage supervisé

... ne fonctionne pas. Est-ce qu'on peut le faire fonctionner ?

Il faut que $p_{\text{données}}(s) = p_{\pi}(s)$



DAGGER: Dataset Aggregation

```
Initialize  $\mathcal{D} \leftarrow \emptyset$ .  
Initialize  $\hat{\pi}_1$  to any policy in  $\Pi$ .  
for  $i = 1$  to  $N$  do  
  Let  $\pi_i = \beta_i \pi^* + (1 - \beta_i) \hat{\pi}_i$ .  
  Sample  $T$ -step trajectories using  $\pi_i$ .  
  Get dataset  $\mathcal{D}_i = \{(s, \pi^*(s))\}$  of visited states by  $\pi_i$   
  and actions given by expert.  
  Aggregate datasets:  $\mathcal{D} \leftarrow \mathcal{D} \cup \mathcal{D}_i$ .  
  Train classifier  $\hat{\pi}_{i+1}$  on  $\mathcal{D}$ .  
end for  
Return best  $\hat{\pi}_i$  on validation.
```

Algorithm 3.1: DAGGER Algorithm.

DAGGER: Dataset Aggregation

Problème ?

```
Initialize  $\mathcal{D} \leftarrow \emptyset$ .  
Initialize  $\hat{\pi}_1$  to any policy in  $\Pi$ .  
for  $i = 1$  to  $N$  do  
  Let  $\pi_i = \beta_i \pi^* + (1 - \beta_i) \hat{\pi}_i$ .  
  Sample  $T$ -step trajectories using  $\pi_i$ .  
  Get dataset  $\mathcal{D}_i = \{(s, \pi^*(s))\}$  of visited states by  $\pi_i$   
  and actions given by expert.  
  Aggregate datasets:  $\mathcal{D} \leftarrow \mathcal{D} \cup \mathcal{D}_i$ .  
  Train classifier  $\hat{\pi}_{i+1}$  on  $\mathcal{D}$ .  
end for  
Return best  $\hat{\pi}_i$  on validation.
```

Algorithm 3.1: DAGGER Algorithm.

Ross, S., Gordon, G., & Bagnell, D. (2011, June). A reduction of imitation learning and structured prediction to no-regret online learning. In *Proceedings of the fourteenth international conference on artificial intelligence and statistics* (pp. 627-635). JMLR Workshop and Conference Proceedings.

DAGGER: Dataset Aggregation

Problème ?

Pas toujours possible ou facile

Initialize $\mathcal{D} \leftarrow \emptyset$.

Initialize $\hat{\pi}_1$ to any policy in Π .

for $i = 1$ **to** N **do**

Let $\pi_i = \beta \pi^* + (1 - \beta_i) \hat{\pi}_i$.

Sample T -step trajectories using π_i .

Get dataset $\mathcal{D}_i = \{(s, \pi^*(s))\}$ of visited states by π_i and actions given by expert.

Aggregate datasets: $\mathcal{D} \leftarrow \mathcal{D} \cup \mathcal{D}_i$.

Train classifier $\hat{\pi}_{i+1}$ on \mathcal{D} .

end for

Return best $\hat{\pi}_i$ on validation.

Algorithm 3.1: DAGGER Algorithm.

Comment trouver la politique optimale ?

À partir d'une politique π qui produit des trajectoires $s_1, a_1, r_1, s_2, a_2, r_2, \dots$

On aimerait pouvoir évaluer la “valeur” d'un état s arbitraire:

Comment trouver la politique optimale ?

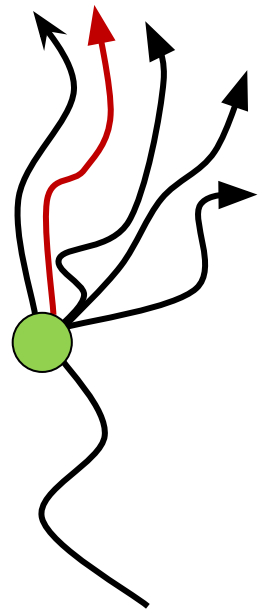
À partir d'une politique π qui produit des trajectoires $s_1, a_1, r_1, s_2, a_2, r_2, \dots$

On aimerait pouvoir évaluer la “valeur” d'un état s arbitraire:

Value function

$$V^\pi(s_t) = \mathbb{E}_{s, a \sim \pi} \left[\sum_{i=0}^{T-t} \gamma^i r_{t+i} \right]$$

“Quelle est le retour espéré si on suit la politique jusqu'à la fin ?”



Comment trouver la politique optimale ?

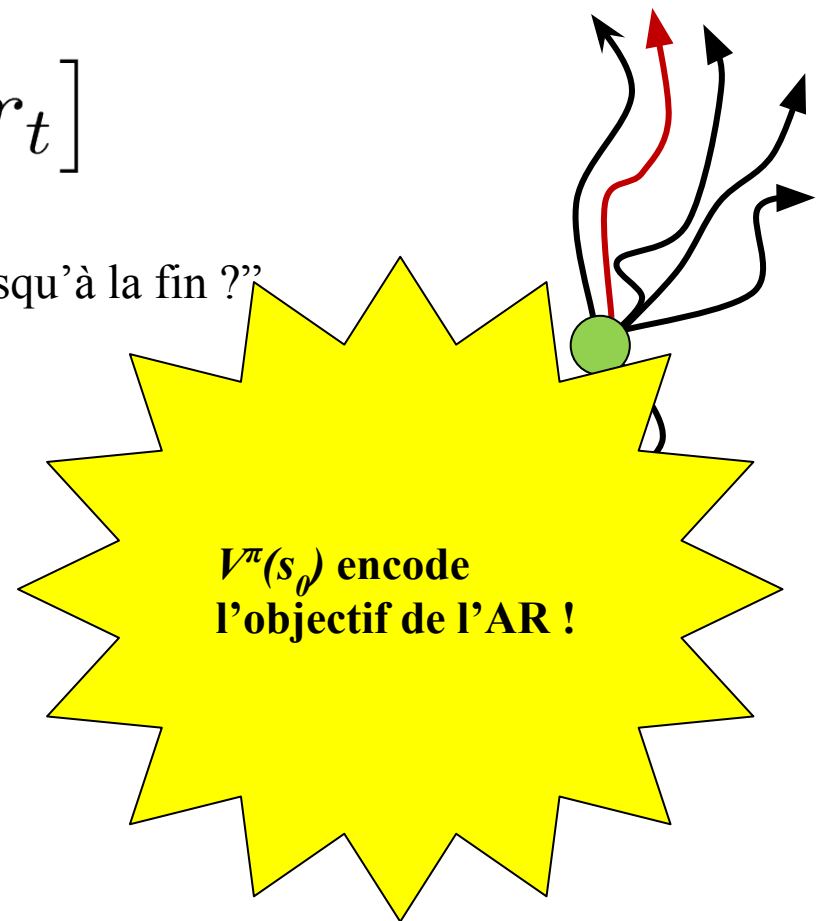
À partir d'une politique π qui produit des trajectoires $s_1, a_1, r_1, s_2, a_2, r_2, \dots$

On aimerait pouvoir évaluer la “valeur” d'un état s arbitraire:

Value function

$$V^\pi(s_t) = \mathbb{E}_{s, a \sim \pi} \left[\sum_{i=0}^{T-t} \gamma^i r_{t+i} \right]$$

“Quelle est le retour espéré si on suit la politique jusqu'à la fin ?”



Comment trouver la politique optimale ?

À partir d'une politique π qui produit des trajectoires $s_1, a_1, r_1, s_2, a_2, r_2, \dots$

On aimerait pouvoir évaluer la “valeur” d'un état s arbitraire:

Value function

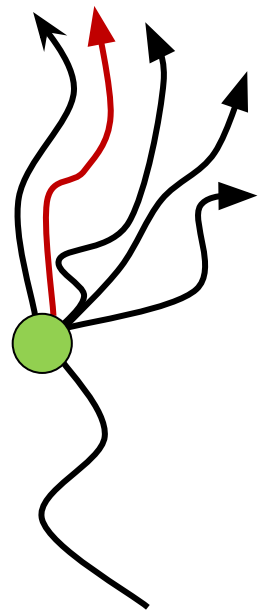
$$V^\pi(s_t) = \mathbb{E}_{s, a \sim \pi} \left[\sum_{i=0}^{T-t} \gamma^i r_{t+i} \right]$$

“Quelle est le retour espéré si on suit la politique jusqu'à la fin ?”

Q-function

$$Q^\pi(s_t, a_t) = r_t(s_t, a_t) + \mathbb{E}_{s, a \sim \pi} \left[\sum_{i=1}^{T-t+1} \gamma^i r_{t+i} \right]$$

“Quelle est le retour espéré si on effectue l'action a à l'état s puis on suit la politique jusqu'à la fin ?”



Comment trouver la politique optimale ?

À partir d'une politique π qui produit des trajectoires $s_1, a_1, r_1, s_2, a_2, r_2, \dots$

On aimerait pouvoir évaluer la “valeur” d'un état s arbitraire:

Value function

$$V^{\pi}(s_t) = \mathbb{E}_{s, a \sim \pi} \left[\sum_{i=0}^{T-t} \gamma^i r_{t+i} \right]$$

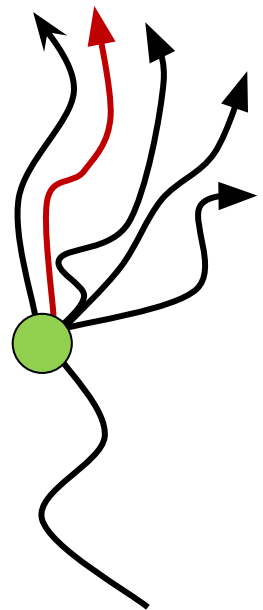
“Quelle est le retour espéré si on suit la politique jusqu'à la fin ?”

Q-function

$$Q^{\pi}(s_t, a_t) = r_t(s_t, a_t) + \mathbb{E}_{s, a \sim \pi} \left[\sum_{i=1}^{T-t+1} \gamma^i r_{t+i} \right]$$

“Quelle est le retour espéré si on effectue l'action a à l'état s puis on suit la politique jusqu'à la fin ?”

$$Q^{\pi}(s_t, a_t) = r_t(s_t, a_t) + V^{\pi}(s_{t+1})$$



Comment trouver la politique optimale ?

Q^* est la *Q-function* optimale pour la politique optimale π^*

$$Q^*(s, a) = \max_{\pi} \mathbb{E}_{s \sim \pi} \left[\sum_t^T \gamma^t r_t \right]$$

Maximise le retour espéré après avoir fait l'action a à l'état s en suivant la politique optimale. **Encode la politique optimale !**

Équation de Bellman:

$$Q^*(s, a) = \mathbb{E}_{s' \sim \pi} \left[r + \gamma \max_{a'} Q^*(s', a') \right]$$

Comment trouver la politique optimale ?

Idée 1: Si on trouve une Q-function qui respecte l'équation de Bellman, on a une Q-function optimale

$$Q^*(s, a) = \mathbb{E}_{s' \sim \pi} [r + \gamma \max_{a'} Q^*(s', a')]$$

Comment trouver la politique optimale ?

Idée 1: Si on trouve une Q-function qui respecte l'équation de Bellman, on a une Q-function optimale

$$Q^*(s, a) = \mathbb{E}_{s' \sim \pi} [r + \gamma \max_{a'} Q^*(s', a')]$$

Idée 2: On peut toujours améliorer une politique en maximisant sa Q-function

$$\pi' := \arg \max_a Q^\pi(s, a) \quad \forall s, a \implies \pi' \geq \pi$$

Comment trouver la politique optimale ?

Idée 1: Si on trouve une Q-fonction qui respecte l'équation de Bellman, on a une Q-fonction optimale

$$Q^*(s, a) = \mathbb{E}_{s' \sim \pi} [r + \gamma \max_{a'} Q^*(s', a')]$$

Idée 2: On peut toujours améliorer une politique en maximisant sa Q-fonction

$$\pi' := \arg \max_a Q^\pi(s, a) \quad \forall s, a \implies \pi' \geq \pi$$

Idée 3: On peut représenter la Q-fonction par la Value-fonction

$$V(s) = \mathbb{E}_{s, a \sim \pi} Q(s, a)$$

Policy/Value-iteration

Solution: Utiliser l'équation de Bellman pour apprendre Q

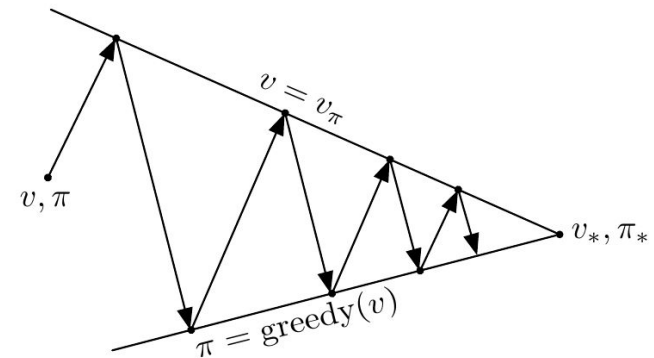
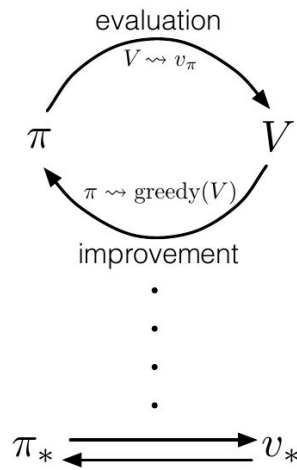
1. Initialize Q randomly.
2. Initialize $\pi(s)$ to $\arg \max_a Q(s, a) \forall s, a$.
3. Repeat until π converges:
 - (a) For each $s \in S$:
 - i. For each $a \in A$:
 - A. $Q(s, a) := r(s, a) + V(s')$
 - ii. $\pi(s) := \arg \max_a Q(s, a)$.

Q, π convergent vers Q^*, π^* !

Policy/Value-iteration

Solution: Utiliser l'équation de Bellman pour apprendre Q

1. Initialize Q randomly.
2. Initialize $\pi(s)$ to $\arg \max_a Q(s, a) \forall s, a$.
3. Repeat until π converges:
 - (a) For each $s \in S$:
 - i. For each $a \in A$:
 - A. $Q(s, a) := r(s, a) + V(s')$
 - ii. $\pi(s) := \arg \max_a Q(s, a)$.

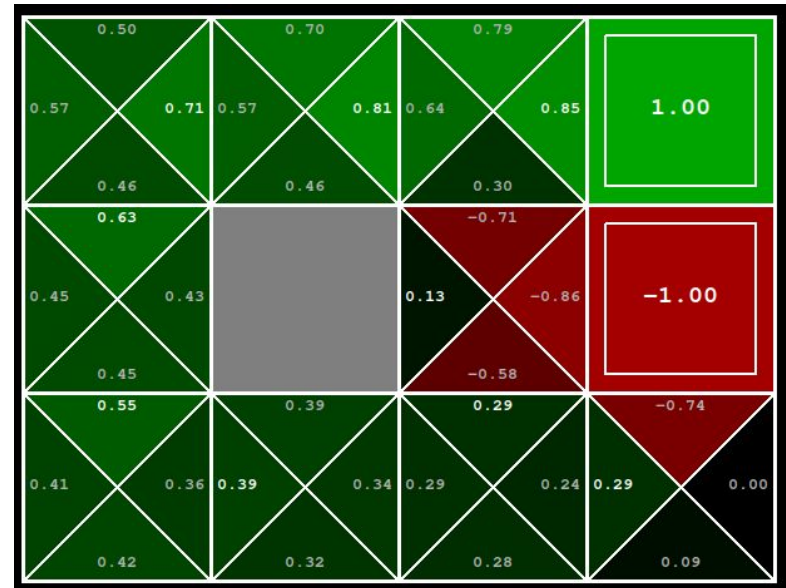
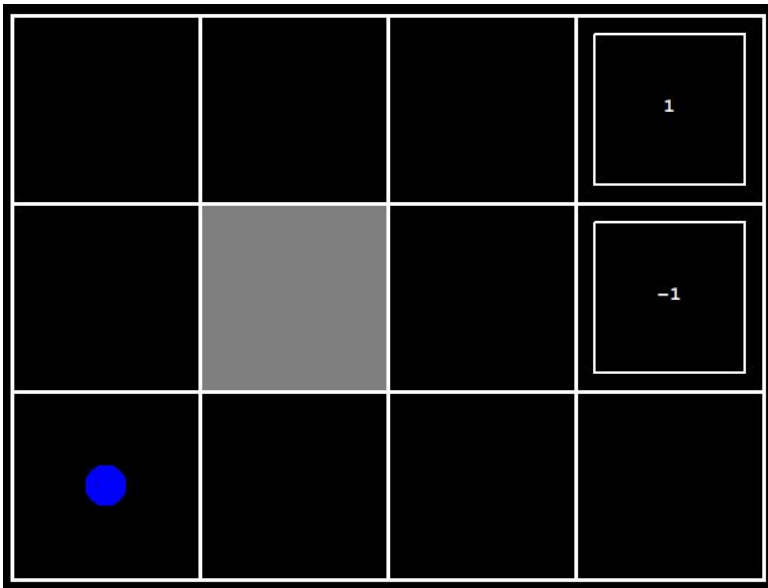


(version simplifiée de Policy/Value iteration)

Q, π convergent vers Q^*, π^* !

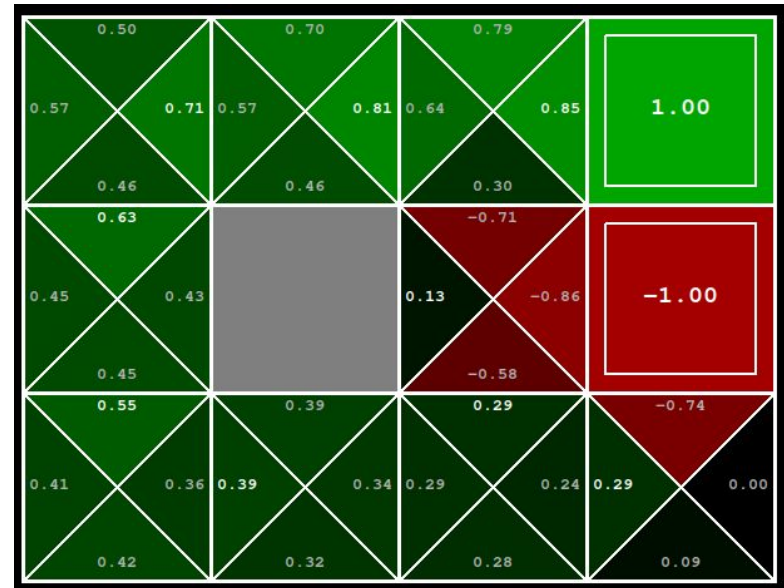
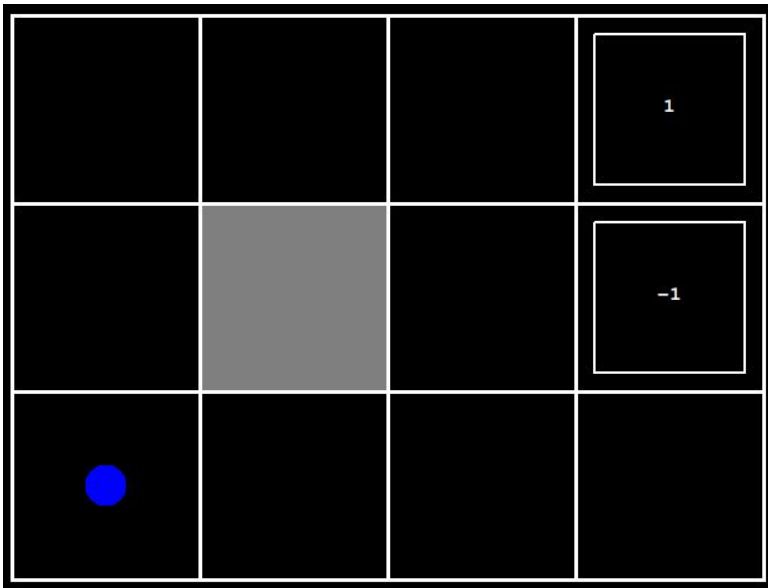
Policy/Value-iteration

Q, π convergent vers Q^*, π^* !



Policy/Value-iteration

Q, π convergent vers Q^*, π^* !



Problème: On doit itérer sur et garder en mémoire tous les s, a

Temporal-difference/Q-learning

Équation de Bellman:

$$Q^*(s, a) = \mathbb{E}_{s' \sim \pi} \left[r + \gamma \max_{a'} Q^*(s', a') \right]$$

Nous allons définir l'équation de Bellman comme cible à apprendre !

$$y = r(s, a) + \gamma \max_{a'} Q(s', a')$$

$$Q(s_t, a_t) \leftarrow Q(s_t, a_t) + \alpha \left[\underbrace{r_t + \gamma Q(s_{t+1}, a_{t+1})}_{\text{cible}} - \underbrace{Q(s_t, a_t)}_{\text{prédiction}} \right]$$

Temporal-difference/Q-learning


Équation de Bellman:

$$Q^*(s, a) = \mathbb{E}_{s' \sim \pi} \left[r + \gamma \max_{a'} Q^*(s', a') \right]$$

Nous allons définir l'équation de Bellman comme cible à apprendre !

$$y = r(s, a) + \gamma \max_{a'} Q(s', a')$$

$$Q(s_t, a_t) \leftarrow Q(s_t, a_t) + \alpha \left[\underbrace{r_t + \gamma Q(s_{t+1}, a_{t+1})}_{\text{cible}} \right]$$



Transforme le
problème en
régression !

Temporal-difference/Q-learning


Équation de Bellman:

$$Q^*(s, a) = \mathbb{E}_{s' \sim \pi} \left[r + \gamma \max_{a'} Q^*(s', a') \right]$$

Nous allons définir l'équation de Bellman comme cible à apprendre !

$$y = r(s, a) + \gamma \max_{a'} Q(s', a')$$

$$Q(s_t, a_t) \leftarrow Q(s_t, a_t) + \alpha \left[\underbrace{r_t + \gamma Q(s_{t+1}, a_{t+1})}_{\text{cible}} \right]$$



Apprentissage
“semi/auto”-
supervisé

Temporal-difference/Q-learning

Nous allons définir l'équation de Bellman comme cible à apprendre !

$$Q(s_t, a_t) \leftarrow Q(s_t, a_t) + \alpha \underbrace{[r_t + \gamma Q(s_{t+1}, a_{t+1})]}_{\text{cible}} - \underbrace{Q(s_t, a_t)}_{\text{prédiction}}$$

Algorithm 1 Deep Q-learning with Experience Replay

Initialize replay memory \mathcal{D} to capacity N

Initialize action-value function Q with random weights

for episode = 1, M **do**

 Initialize sequence $s_1 = \{x_1\}$ and preprocessed sequenced $\phi_1 = \phi(s_1)$

for $t = 1, T$ **do**

 With probability ϵ select a random action a_t

 otherwise select $a_t = \max_a Q^*(\phi(s_t), a; \theta)$

 Execute action a_t in emulator and observe reward r_t and image x_{t+1}

 Set $s_{t+1} = s_t, a_t, x_{t+1}$ and preprocess $\phi_{t+1} = \phi(s_{t+1})$

 Store transition $(\phi_t, a_t, r_t, \phi_{t+1})$ in \mathcal{D}

 Sample random minibatch of transitions $(\phi_j, a_j, r_j, \phi_{j+1})$ from \mathcal{D}

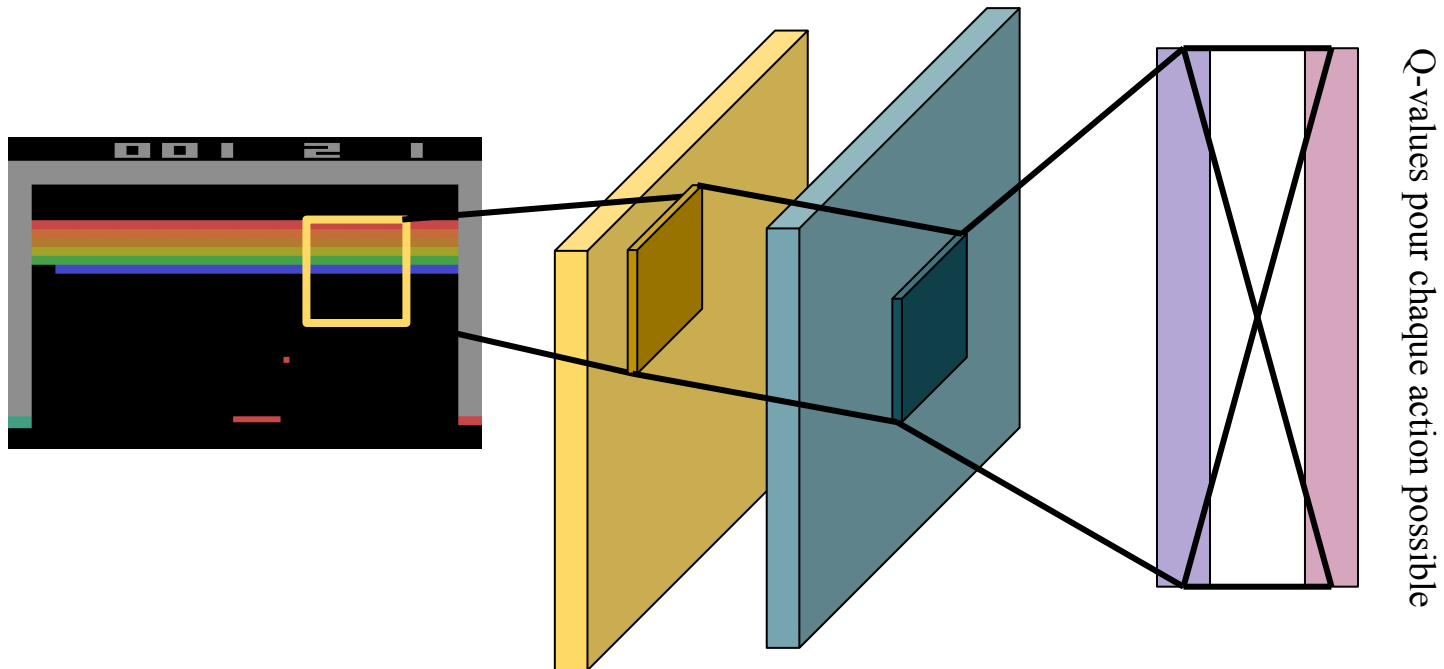
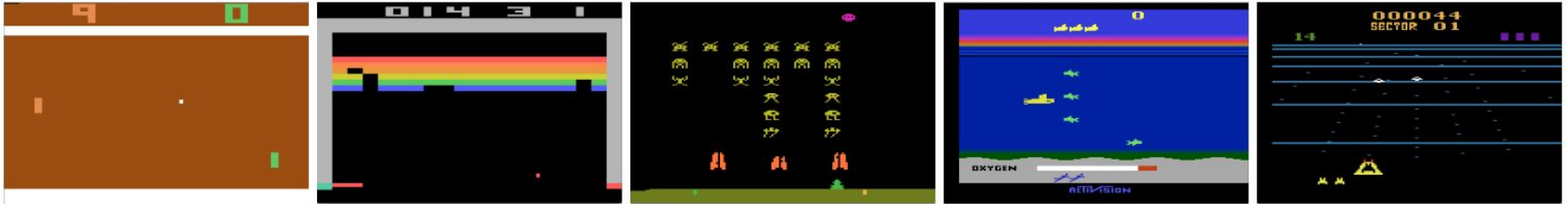
 Set $y_j = \begin{cases} r_j & \text{for terminal } \phi_{j+1} \\ r_j + \gamma \max_{a'} Q(\phi_{j+1}, a'; \theta) & \text{for non-terminal } \phi_{j+1} \end{cases}$

 Perform a gradient descent step on $(y_j - Q(\phi_j, a_j; \theta))^2$ according to equation 3

end for

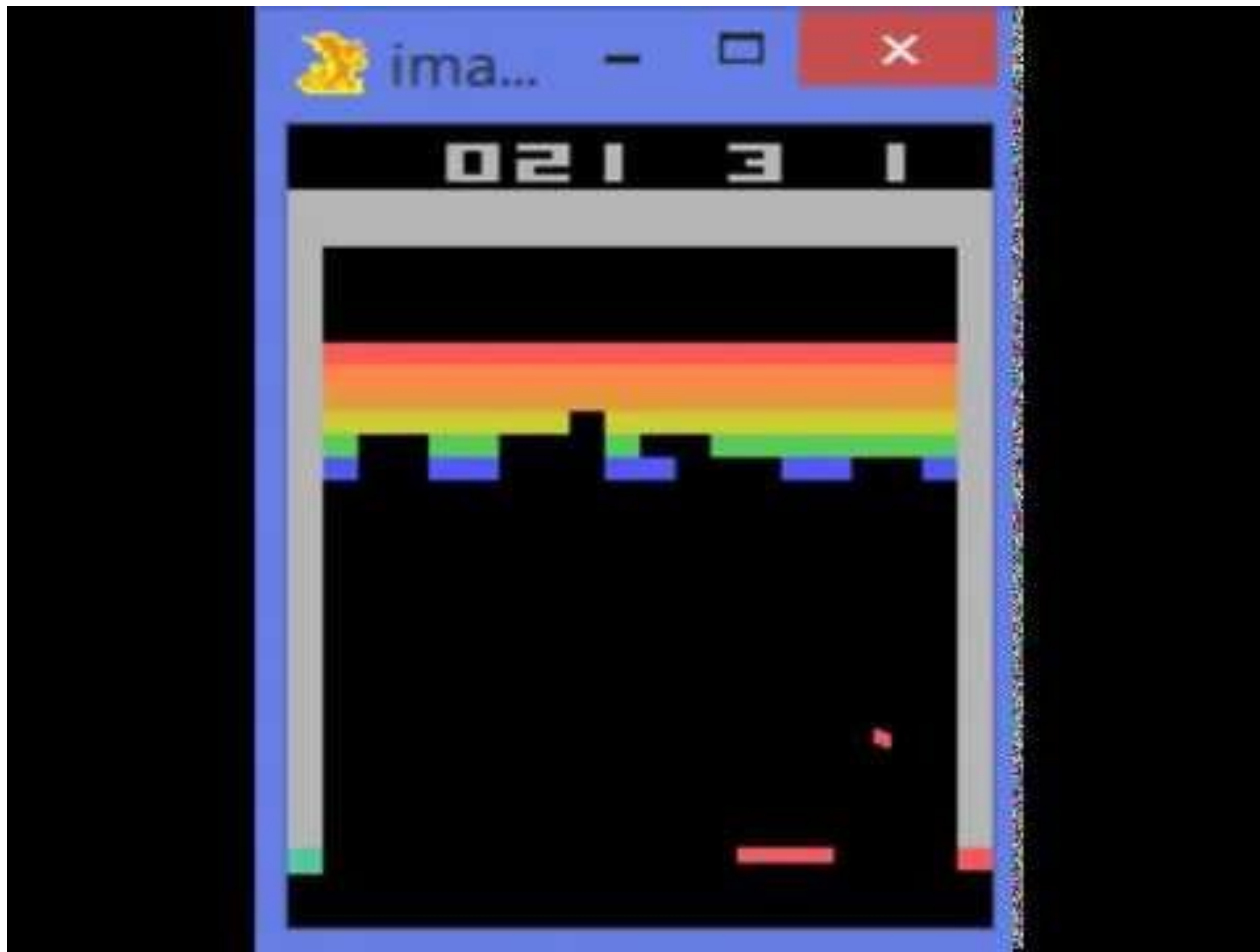
end for

Atari



Mnih, V., Kavukcuoglu, K., Silver, D., Graves, A., Antonoglou, I., Wierstra, D., & Riedmiller, M. (2013). Playing atari with deep reinforcement learning. arXiv preprint arXiv:1312.5602.

Atari



<https://www.youtube.com/watch?v=V1eYniJ0Rnk>

Mnih, V., Kavukcuoglu, K., Silver, D., Graves, A., Antonoglou, I., Wierstra, D., & Riedmiller, M. (2013). Playing atari with deep reinforcement learning. arXiv preprint arXiv:1312.5602.

Deep Q-Learning

DQN est devenu une famille d'algorithmes en soi !

Mnih, V., Kavukcuoglu, K., Silver, D., Graves, A., Antonoglou, I., Wierstra, D., & Riedmiller, M. (2013). Playing atari with deep reinforcement learning. *arXiv preprint arXiv:1312.5602*.

Van Hasselt, H., Guez, A., & Silver, D. (2016, March). Deep reinforcement learning with double q-learning. In *Proceedings of the AAAI conference on artificial intelligence* (Vol. 30, No. 1).

Wang, Z., Schaul, T., Hessel, M., Hasselt, H., Lanctot, M., & Freitas, N. (2016, June). Dueling network architectures for deep reinforcement learning. In *International conference on machine learning* (pp. 1995-2003). PMLR.

Fortunato, M., Azar, M. G., Piot, B., Menick, J., Osband, I., Graves, A., ... & Legg, S. (2017). Noisy networks for exploration. *arXiv preprint arXiv:1706.10295*.

Hessel, M., Modayil, J., Van Hasselt, H., Schaul, T., Ostrovski, G., Dabney, W., ... & Silver, D. (2018, April). Rainbow: Combining improvements in deep reinforcement learning. In *Thirty-second AAAI conference on artificial intelligence*.

Badia, A. P., Piot, B., Kapturowski, S., Sprechmann, P., Vitvitskyi, A., Guo, Z. D., & Blundell, C. (2020, November). Agent57: Outperforming the atari human benchmark. In *International Conference on Machine Learning* (pp. 507-517). PMLR.

Mnih, V., Kavukcuoglu, K., Silver, D., Graves, A., Antonoglou, I., Wierstra, D., & Riedmiller, M. (2013). Playing atari with deep reinforcement learning. *arXiv preprint arXiv:1312.5602*.

Deep Q-Learning

DQN est devenu une famille

Mnih, V., Kavukcuoglu, K., Silver, D., Gray, A., Nader, A., Pong, P., et al. (2015). Playing atari with deep reinforcement learning. *arXiv preprint arXiv:1312.5682v1*.

Van Hasselt, H., Guez, A., & Silver, D. (2016). Deep reinforcement learning with double q-learning. In *Proceedings of the AAAI conference on artificial intelligence* (Vol. 30, pp. 2814-2818). AAAI Press.

Wang, Z., Schaul, T., Hessel, M., Hasselt, P., Lanctot, M., & Sutton, R. (2016). Dueling network architectures for deep reinforcement learning. In *International conference on machine learning* (pp. 1993-2002). PMLR.

Fortunato, M., Azar, M. G., Piot, B., Menikoff, J., & Sutton, R. (2017). Rainbow: Combining the best of deep reinforcement learning. *arXiv:1706.10295*.

Hessel, M., Modayil, J., Van Hasselt, P., Schaul, T., Ostmann, F., & Sutton, R. (2018). Improvements in deep reinforcement learning with dueling networks. In *Proceedings of the AAAI conference on artificial intelligence* (pp. 2981-2988). AAAI Press.

Badia, A. P., Piot, B., Kapturowski, S., Sprechendorfer, G., & Sutton, R. (2018). Outperforming the atari human benchmark with a single deep reinforcement learning architecture. In *Proceedings of the AAAI conference on artificial intelligence* (pp. 2989-2996). AAAI Press.

Mnih, V., Kavukcuoglu, K., Silver, D., Gray, A., Nader, A., Pong, P., et al. (2015). Playing atari with deep reinforcement learning. *arXiv preprint arXiv:1312.5682v1*.

Games	Average Human	Random	Agent57
alien	7127.70	227.80	297638.17 ± 37054.55
amidar	1719.50	5.80	29660.08 ± 880.39
assault	742.00	222.40	67212.67 ± 6150.59
asterix	8503.30	210.00	991384.42 ± 9493.32
asteroids	47388.70	719.10	150854.61 ± 16116.72
atlantis	29028.10	12850.00	1528841.76 ± 28282.53
bank heist	753.10	14.20	23071.50 ± 15834.73
battle zone	37187.50	2360.00	934134.88 ± 38916.03
beam rider	16926.50	363.90	300509.80 ± 13075.35
berzerk	2630.40	123.70	61507.83 ± 26539.54
bowling	160.70	23.10	251.18 ± 13.22
boxing	12.10	0.10	100.00 ± 0.00
breakout	30.50	1.70	790.40 ± 60.05
centipede	12017.00	2090.90	412847.86 ± 26087.14
chopper command	7387.80	811.00	999900.00 ± 0.00
crazy climber	35829.40	10780.50	565909.85 ± 89183.85
defender	18688.90	2874.50	677642.78 ± 16858.59
demon attack	1971.00	152.10	143161.44 ± 220.32
double dunk	-16.40	-18.60	23.93 ± 0.06
enduro	860.50	0.00	2367.71 ± 8.69
fishing derby	-38.70	-91.70	86.97 ± 3.25
freeway	29.60	0.00	32.59 ± 0.71
frostbite	4334.70	65.20	541280.88 ± 17485.76
gopher	2412.50	257.60	117777.08 ± 3108.06
gravitar	3351.40	173.00	19213.96 ± 348.25
hero	30826.40	1027.00	114736.26 ± 49116.60
ice hockey	0.90	-11.20	63.64 ± 6.48
jamesbond	302.80	29.00	135784.96 ± 9132.28
kangaroo	3035.00	52.00	24034.16 ± 12565.88
krull	2665.50	1598.00	251997.31 ± 20274.39
kung fu master	22736.30	258.50	206845.82 ± 11112.10
montezuma revenge	4753.30	0.00	9352.01 ± 2939.78
ms pacman	6951.60	307.30	63994.44 ± 6652.16
name this game	8049.00	2292.30	54386.77 ± 6148.50
phoenix	7242.60	761.40	908264.15 ± 28978.92
pitfall	6463.70	-229.40	18756.01 ± 9783.91
pong	14.60	-20.70	20.67 ± 0.47
private eye	69571.30	24.90	79716.46 ± 29515.48
qbert	13455.00	163.90	580328.14 ± 151251.66
riverraid	17118.00	1338.50	63318.67 ± 5659.55
road runner	7845.00	11.50	243025.80 ± 79555.98
robotank	11.90	2.20	127.32 ± 12.50
seaquest	42054.70	68.40	999997.63 ± 1.42
skiing	-4336.90	-17098.10	-4202.60 ± 607.85
solaris	12326.70	1236.30	44199.93 ± 8055.50
space invaders	1668.70	148.00	48680.86 ± 5894.01
star gunner	10250.00	664.00	839573.53 ± 67132.17
surround	6.50	-10.00	9.50 ± 0.19
tennis	-8.30	-23.80	23.84 ± 0.10
time pilot	5229.20	3568.00	405425.31 ± 17044.45
tutankham	167.60	11.40	2354.91 ± 3421.43
up n down	11693.20	533.40	623805.73 ± 23493.75
venture	1187.50	0.00	2623.71 ± 442.13
video pinball	17667.90	0.00	992340.74 ± 12867.87
wizard of wor	4756.50	563.50	157306.41 ± 16000.00
yars revenge	54576.90	3092.90	998532.37 ± 375.82
zaxxon	9173.30	32.50	249808.90 ± 58261.59

Playing atari with deep

learning. In *Proceedings of the AAAI*

network architectures for deep

networks for exploration. *arXiv preprint*

(April). Rainbow: Combining

(November). Agent57:

ra, D., & Riedmiller, M. (2013). Playing atari with

Deep Q-Learning

Algorithm 1 Deep Q-learning with Experience Replay

Initialize replay memory \mathcal{D} to capacity N

Initialize action-value function Q with random weights

for episode = 1, M **do**

 Initialize sequence $s_1 = \{x_1\}$ and preprocessed sequenced $\phi_1 = \phi(s_1)$

for $t = 1, T$ **do**

 With probability ϵ select a random action a_t

 otherwise select $a_t = \max_a Q^*(\phi(s_t), a; \theta)$

 Execute action a_t in emulator and observe reward r_t and image x_{t+1}

 Set $s_{t+1} = s_t, a_t, x_{t+1}$ and preprocess $\phi_{t+1} = \phi(s_{t+1})$

 Store transition $(\phi_t, a_t, r_t, \phi_{t+1})$ in \mathcal{D}

 Sample random minibatch of transitions $(\phi_j, a_j, r_j, \phi_{j+1})$ from \mathcal{D}

 Set $y_j = \begin{cases} r_j & \text{for terminal } \phi_{j+1} \\ r_j + \gamma \max_{a'} Q(\phi_{j+1}, a'; \theta) & \text{for non-terminal } \phi_{j+1} \end{cases}$

 Perform a gradient descent step on $(y_j - Q(\phi_j, a_j; \theta))^2$ according to equation 3

end for

end for

Problème ?

Deep Q-Learning

Algorithm 1 Deep Q-learning with Experience Replay

Initialize replay memory \mathcal{D} to capacity N

Initialize action-value function Q with random weights

for episode = 1, M **do**

 Initialize sequence $s_1 = \{x_1\}$ and preprocessed sequenced $\phi_1 = \phi(s_1)$

for $t = 1, T$ **do**

 With probability ϵ select a random action a_t
 otherwise select $a_t = \max_a Q^*(\phi(s_t), a; \theta)$

 Execute action a_t in emulator and observe reward r_t and image x_{t+1}

 Set $s_{t+1} = s_t, a_t, x_{t+1}$ and preprocess $\phi_{t+1} = \phi(s_{t+1})$

 Store transition $(\phi_t, a_t, r_t, \phi_{t+1})$ in \mathcal{D}

 Sample random minibatch of transitions $(\phi_j, a_j, r_j, \phi_{j+1})$ from \mathcal{D}

 Set $y_j = \begin{cases} r_j & \text{for terminal } \phi_{j+1} \\ r_j + \gamma \max_{a'} Q(\phi_{j+1}, a'; \theta) & \text{for non-terminal } \phi_{j+1} \end{cases}$

 Perform a gradient descent step on $(y_j - Q(\phi_j, a_j; \theta))^2$ according to equation 3

end for

end for

Problème ?

Demande d'évaluer toutes les actions.

Deep Q-Learning

Algorithm 1 Deep Q-learning with Experience Replay

Initialize replay memory \mathcal{D} to capacity N

Initialize action-value function Q with random weights

for episode = 1, M **do**

 Initialize sequence $s_1 = \{x_1\}$ and preprocessed sequenced $\phi_1 = \phi(s_1)$

for $t = 1, T$ **do**

 With probability ϵ select a random action a_t
 otherwise select $a_t = \max_a Q^*(\phi(s_t), a; \theta)$

 Execute action a_t in emulator and observe reward r_t and image x_{t+1}

 Set $s_{t+1} = s_t, a_t, x_{t+1}$ and preprocess $\phi_{t+1} = \phi(s_{t+1})$

 Store transition $(\phi_t, a_t, r_t, \phi_{t+1})$ in \mathcal{D}

 Sample random minibatch of transitions $(\phi_j, a_j, r_j, \phi_{j+1})$ from \mathcal{D}

 Set $y_j = \begin{cases} r_j & \text{for terminal } \phi_{j+1} \\ r_j + \gamma \max_{a'} Q(\phi_{j+1}, a'; \theta) & \text{for non-terminal } \phi_{j+1} \end{cases}$

 Perform a gradient descent step on $(y_j - Q(\phi_j, a_j; \theta))^2$ according to equation 3

end for

end for

Problème ?

Demande d'évaluer toutes les actions.

Qu'arrive-t'il si le domaine d'action est continu ?

Gradient de politique

Jusqu'à présent, la politique est une fonction de Q ou V $\pi(a|s) = \arg \max_a Q(s, a)$

Gradient de politique

Jusqu'à présent, la politique est une fonction de Q ou V $\pi(a|s) = \arg \max_a Q(s, a)$

Peut-on apprendre la politique directement ? i.e

$$J(\theta) = \mathbb{E}_{s, a \sim p_\theta} \left[\sum_t \gamma^t r_t \right]$$

$$\pi_\theta^* = \arg \max_\theta J(\theta)$$

Gradient de politique

Jusqu'à présent, la politique est une fonction de Q ou V $\pi(a|s) = \arg \max_a Q(s, a)$

Peut-on apprendre la politique directement ? i.e

$$J(\theta) = \mathbb{E}_{s, a \sim p_\theta} \left[\sum_t \gamma^t r_t \right] \quad p_\theta(s_1, a_1, s_2, \dots, s_T, a_T) = p(s_1) \prod_{t=1}^T \pi_\theta(a_t | s_t) p(s_{t+1} | s_t, a_t)$$

$$\pi_\theta^* = \arg \max_{\theta} J(\theta) \quad \text{“Ascente” de gradient !}$$

Gradient de politique

Jusqu'à présent, la politique est une fonction de Q ou V $\pi(a|s) = \arg \max_a Q(s, a)$

Peut-on apprendre la politique directement ? i.e

$$J(\theta) = \mathbb{E}_{s, a \sim p_\theta} \left[\sum_t \gamma^t r_t \right] \quad p_\theta(s_1, a_1, s_2, \dots, s_T, a_T) = p(s_1) \prod_{t=1}^T \pi_\theta(a_t | s_t) p(s_{t+1} | s_t, a_t)$$

$$\pi_\theta^* = \arg \max_{\theta} J(\theta) \quad \text{“Ascente” de gradient !}$$

Problème: $\frac{\partial J}{\partial \theta}$ indéfini !

Gradient de politique

Jusqu'à présent, la politique est une fonction de Q ou V $\pi(a|s) = \arg \max_a Q(s, a)$

Peut-on apprendre la politique directement ? i.e

$$J(\theta) = \mathbb{E}_{s, a \sim p_\theta} \left[\sum_t \gamma^t r_t \right] \quad \underbrace{p_\theta(s_1, a_1, s_2, \dots, s_T, a_T)}_x = p(s_1) \prod_{t=1}^T \pi_\theta(a_t | s_t) p(s_{t+1} | s_t, a_t)$$

$$\pi_\theta^* = \arg \max_{\theta} J(\theta) \quad \text{“Ascente” de gradient !}$$

Problème: $\frac{\partial J}{\partial \theta}$ indéfini !

Reformulation du problème: $J(\theta) = \mathbb{E}_{x \sim p_\theta} [f(x)]$

Gradient de politique

Reformulation du problème: $J(\theta) = \mathbb{E}_{x \sim p_\theta} [f(x)] = \int_x p_\theta(x) f(x) dx$

$$\frac{\partial J}{\partial \theta} = \frac{\partial}{\partial \theta} \mathbb{E}_{x \sim p_\theta} [f(x)]$$

Gradient de politique

Reformulation du problème: $J(\theta) = \mathbb{E}_{x \sim p_\theta} [f(x)] = \int_x p_\theta(x) f(x) dx$

$$\frac{\partial J}{\partial \theta} = \frac{\partial}{\partial \theta} \mathbb{E}_{x \sim p_\theta} [f(x)] = \int_x \frac{\partial}{\partial \theta} p_\theta(x) f(x) dx =$$

Gradient de politique

Reformulation du problème: $J(\theta) = \mathbb{E}_{x \sim p_\theta} [f(x)] = \int_x p_\theta(x) f(x) dx$

$$\frac{\partial J}{\partial \theta} = \frac{\partial}{\partial \theta} \mathbb{E}_{x \sim p_\theta} [f(x)] = \int_x \underline{\frac{\partial}{\partial \theta} p_\theta(x)} f(x) dx =$$

$$\underline{\frac{\partial}{\partial \theta} p_\theta(x)} = p_\theta(x) \frac{\frac{\partial}{\partial \theta} p_\theta(x)}{p_\theta(x)}$$

Gradient de politique

Reformulation du problème: $J(\theta) = \mathbb{E}_{x \sim p_\theta} [f(x)] = \int_x p_\theta(x) f(x) dx$

$$\frac{\partial J}{\partial \theta} = \frac{\partial}{\partial \theta} \mathbb{E}_{x \sim p_\theta} [f(x)] = \int_x \underbrace{\frac{\partial}{\partial \theta} p_\theta(x)}_{\text{green}} f(x) dx = \int_x p_\theta(x) \underbrace{\frac{\partial}{\partial \theta} \log p_\theta(x)}_{\text{blue}} f(x) dx$$

$$\underbrace{\frac{\partial}{\partial \theta} p_\theta(x)}_{\text{green}} = p_\theta(x) \frac{\frac{\partial}{\partial \theta} p_\theta(x)}{p_\theta(x)} = p_\theta(x) \underbrace{\frac{\partial}{\partial \theta} \log p_\theta(x)}_{\text{blue}}$$

Gradient de politique

Reformulation du problème: $J(\theta) = \mathbb{E}_{x \sim p_\theta} [f(x)] = \int_x p_\theta(x) f(x) dx$

$$\frac{\partial J}{\partial \theta} = \frac{\partial}{\partial \theta} \mathbb{E}_{x \sim p_\theta} [f(x)] = \int_x \underbrace{\frac{\partial}{\partial \theta} p_\theta(x)}_{\text{green}} f(x) dx = \int_x p_\theta(x) \underbrace{\frac{\partial}{\partial \theta} \log p_\theta(x)}_{\text{blue}} f(x) dx = \mathbb{E}_{x \sim p_\theta} \left[\frac{\partial}{\partial \theta} \log p_\theta(x) f(x) \right]$$

$$\underbrace{\frac{\partial}{\partial \theta} p_\theta(x)}_{\text{green}} = p_\theta(x) \frac{\frac{\partial}{\partial \theta} p_\theta(x)}{p_\theta(x)} = p_\theta(x) \underbrace{\frac{\partial}{\partial \theta} \log p_\theta(x)}_{\text{blue}}$$

$$\frac{\partial J}{\partial \theta} = \mathbb{E}_{x \sim p_\theta} \left[\frac{\partial}{\partial \theta} \log p_\theta(x) f(x) \right]$$

Gradient de politique

Reformulation du problème: $J(\theta) = \mathbb{E}_{x \sim p_\theta} [f(x)] = \int_x p_\theta(x) f(x) dx$

$$\frac{\partial J}{\partial \theta} = \frac{\partial}{\partial \theta} \mathbb{E}_{x \sim p_\theta} [f(x)] = \int_x \frac{\partial}{\partial \theta} p_\theta(x) f(x) dx = \int_x p_\theta(x) \frac{\partial}{\partial \theta} \log p_\theta(x) f(x) dx = \mathbb{E}_{x \sim p_\theta} \left[\frac{\partial}{\partial \theta} \log p_\theta(x) f(x) \right]$$

$$\frac{\partial}{\partial \theta} p_\theta(x) = p_\theta(x) \frac{\frac{\partial}{\partial \theta} p_\theta(x)}{p_\theta(x)} = p_\theta(x) \frac{\partial}{\partial \theta} \log p_\theta(x)$$

$$\frac{\partial J}{\partial \theta} = \mathbb{E}_{x \sim p_\theta} \left[\frac{\partial}{\partial \theta} \log p_\theta(x) f(x) \right] \quad \underbrace{p_\theta(s_1, a_1, s_2, \dots, s_T, a_T)}_{\mathbf{x}} = p(s_1) \prod_{t=1}^T \pi_\theta(a_t | s_t) p(s_{s+1} | s_t, a_t)$$

Gradient de politique

Reformulation du problème: $J(\theta) = \mathbb{E}_{x \sim p_\theta} [f(x)] = \int_x p_\theta(x) f(x) dx$

$$\frac{\partial J}{\partial \theta} = \frac{\partial}{\partial \theta} \mathbb{E}_{x \sim p_\theta} [f(x)] = \int_x \frac{\partial}{\partial \theta} p_\theta(x) f(x) dx = \int_x p_\theta(x) \frac{\partial}{\partial \theta} \log p_\theta(x) f(x) dx = \mathbb{E}_{x \sim p_\theta} \left[\frac{\partial}{\partial \theta} \log p_\theta(x) f(x) \right]$$

$$\frac{\partial}{\partial \theta} p_\theta(x) = p_\theta(x) \frac{\frac{\partial}{\partial \theta} p_\theta(x)}{p_\theta(x)} = p_\theta(x) \frac{\partial}{\partial \theta} \log p_\theta(x)$$

$$\frac{\partial J}{\partial \theta} = \mathbb{E}_{x \sim p_\theta} \left[\frac{\partial}{\partial \theta} \log p_\theta(x) f(x) \right]$$

$$p_\theta(s_1, a_1, s_2, \dots, s_T, a_T) = p(s_1) \prod_{t=1}^T \pi_\theta(a_t | s_t) p(s_{s+1} | s_t, a_t)$$

$$\log p_\theta(s_1, a_1, s_2, \dots, s_T, a_T) = \log p(s_1) + \sum_{t=1}^T \log \pi_\theta(a_t | s_t) + \log p(s_{s+1} | s_t, a_t)$$

Gradient de politique

Reformulation du problème: $J(\theta) = \mathbb{E}_{x \sim p_\theta} [f(x)] = \int_x p_\theta(x) f(x) dx$

$$\frac{\partial J}{\partial \theta} = \frac{\partial}{\partial \theta} \mathbb{E}_{x \sim p_\theta} [f(x)] = \int_x \frac{\partial}{\partial \theta} p_\theta(x) f(x) dx = \int_x p_\theta(x) \frac{\partial}{\partial \theta} \log p_\theta(x) f(x) dx = \mathbb{E}_{x \sim p_\theta} \left[\frac{\partial}{\partial \theta} \log p_\theta(x) f(x) \right]$$

$$\frac{\partial}{\partial \theta} p_\theta(x) = p_\theta(x) \frac{\frac{\partial}{\partial \theta} p_\theta(x)}{p_\theta(x)} = p_\theta(x) \frac{\partial}{\partial \theta} \log p_\theta(x)$$

$$\frac{\partial J}{\partial \theta} = \mathbb{E}_{x \sim p_\theta} \left[\frac{\partial}{\partial \theta} \log p_\theta(x) f(x) \right]$$



$$\frac{\partial J}{\partial \theta} = \mathbb{E}_{x \sim p_\theta} \left[\frac{\partial}{\partial \theta} \left(\log p(s_1) + \sum_{t=1}^T \log \pi_\theta(a_t | s_t) + \log p(s_{s+1} | s_t, a_t) \right) f(x) \right]$$

$$p_\theta(s_1, a_1, s_2, \dots, s_T, a_T) = p(s_1) \prod_{t=1}^T \pi_\theta(a_t | s_t) p(s_{s+1} | s_t, a_t)$$

x

$$\log p_\theta(s_1, a_1, s_2, \dots, s_T, a_T) = \log p(s_1) + \sum_{t=1}^T \log \pi_\theta(a_t | s_t) + \log p(s_{s+1} | s_t, a_t)$$

Gradient de politique

Reformulation du problème: $J(\theta) = \mathbb{E}_{x \sim p_\theta} [f(x)] = \int_x p_\theta(x) f(x) dx$

$$\frac{\partial J}{\partial \theta} = \frac{\partial}{\partial \theta} \mathbb{E}_{x \sim p_\theta} [f(x)] = \int_x \frac{\partial}{\partial \theta} p_\theta(x) f(x) dx = \int_x p_\theta(x) \frac{\partial}{\partial \theta} \log p_\theta(x) f(x) dx = \mathbb{E}_{x \sim p_\theta} \left[\frac{\partial}{\partial \theta} \log p_\theta(x) f(x) \right]$$

$$\frac{\partial}{\partial \theta} p_\theta(x) = p_\theta(x) \frac{\frac{\partial}{\partial \theta} p_\theta(x)}{p_\theta(x)} = p_\theta(x) \frac{\partial}{\partial \theta} \log p_\theta(x)$$

$$\frac{\partial J}{\partial \theta} = \mathbb{E}_{x \sim p_\theta} \left[\frac{\partial}{\partial \theta} \log p_\theta(x) f(x) \right]$$



$$\frac{\partial J}{\partial \theta} = \mathbb{E}_{x \sim p_\theta} \left[\frac{\partial}{\partial \theta} \left(\log p(s_1) + \sum_{t=1}^T \log \pi_\theta(a_t | s_t) + \log p(s_{s+1} | s_t, a_t) \right) f(x) \right]$$

$$p_\theta(s_1, a_1, s_2, \dots, s_T, a_T) = p(s_1) \prod_{t=1}^T \pi_\theta(a_t | s_t) p(s_{s+1} | s_t, a_t)$$

x

$$\log p_\theta(s_1, a_1, s_2, \dots, s_T, a_T) = \log p(s_1) + \sum_{t=1}^T \log \pi_\theta(a_t | s_t) + \log p(s_{s+1} | s_t, a_t)$$

Gradient de politique

Reformulation du problème: $J(\theta) = \mathbb{E}_{x \sim p_\theta} [f(x)] = \int_x p_\theta(x) f(x) dx$

$$\frac{\partial J}{\partial \theta} = \frac{\partial}{\partial \theta} \mathbb{E}_{x \sim p_\theta} [f(x)] = \int_x \frac{\partial}{\partial \theta} p_\theta(x) f(x) dx = \int_x p_\theta(x) \frac{\partial}{\partial \theta} \log p_\theta(x) f(x) dx = \mathbb{E}_{x \sim p_\theta} \left[\frac{\partial}{\partial \theta} \log p_\theta(x) f(x) \right]$$

$$\frac{\partial}{\partial \theta} p_\theta(x) = p_\theta(x) \frac{\frac{\partial}{\partial \theta} p_\theta(x)}{p_\theta(x)} = p_\theta(x) \frac{\partial}{\partial \theta} \log p_\theta(x)$$

$$\frac{\partial J}{\partial \theta} = \mathbb{E}_{x \sim p_\theta} \left[\frac{\partial}{\partial \theta} \log p_\theta(x) f(x) \right] \quad \underbrace{p_\theta(s_1, a_1, s_2, \dots, s_T, a_T)}_x = p(s_1) \prod_{t=1}^T \pi_\theta(a_t | s_t) p(s_{s+1} | s_t, a_t)$$

$$\log p_\theta(s_1, a_1, s_2, \dots, s_T, a_T) = \log p(s_1) + \sum_{t=1}^T \log \pi_\theta(a_t | s_t) + \log p(s_{s+1} | s_t, a_t)$$

$$\frac{\partial J}{\partial \theta} = \mathbb{E}_{x \sim p_\theta} \left[\frac{\partial}{\partial \theta} \left(\cancel{\log p(s_1)} + \sum_{t=1}^T \log \pi_\theta(a_t | s_t) + \cancel{\log p(s_{s+1} | s_t, a_t)} \right) f(x) \right]$$

$$\frac{\partial J}{\partial \theta} = \mathbb{E}_{s, a \sim p_\theta} \left[\frac{\partial}{\partial \theta} \sum_{t=1}^T \log \pi_\theta(a_t | s_t) \sum_{t'=t}^T \gamma^{t'-t} r_{t'} \right] \quad \textbf{Estimable par échantillonnage !}$$

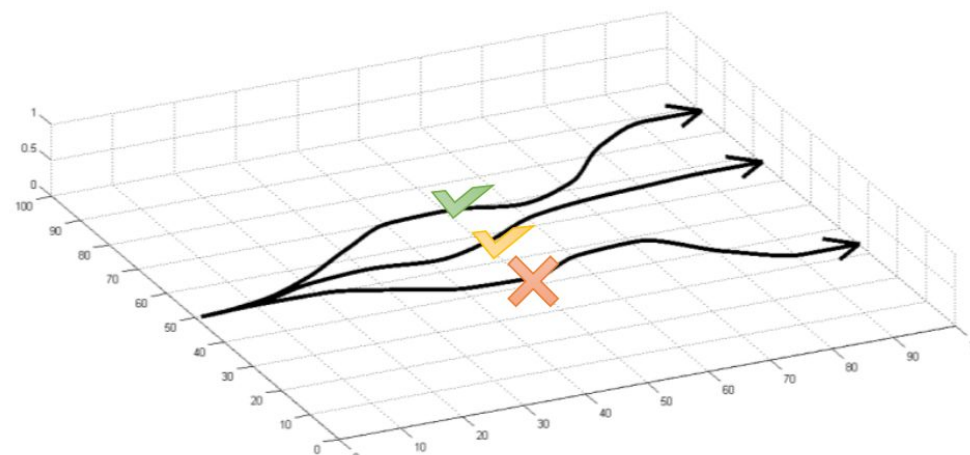
Gradient de politique

$$\frac{\partial J}{\partial \theta} = \mathbb{E}_{s, a \sim p_{\theta}} \left[\frac{\partial}{\partial \theta} \sum_{t=1}^T \log \pi_{\theta}(a_t | s_t) \sum_{t'=t}^T \gamma^{t'-t} r_{t'} \right] \quad \textbf{Estimable par échantillonnage !}$$

Gradient de politique

$$\frac{\partial J}{\partial \theta} = \mathbb{E}_{s,a \sim p_\theta} \left[\frac{\partial}{\partial \theta} \sum_{t=1}^T \log \pi_\theta(a_t | s_t) \sum_{t'=t}^T \gamma^{t'-t} r_{t'} \right] \quad \text{Estimable par échantillonnage !}$$

$$\frac{\partial J}{\partial \theta} \approx \sum_{i=1}^N \left[\frac{\partial}{\partial \theta} \sum_{t=1}^T \log \pi_\theta(a_t^i | s_t^i) \sum_{t'=t}^T \gamma^{t'-t} r_{t'}^i \right]$$



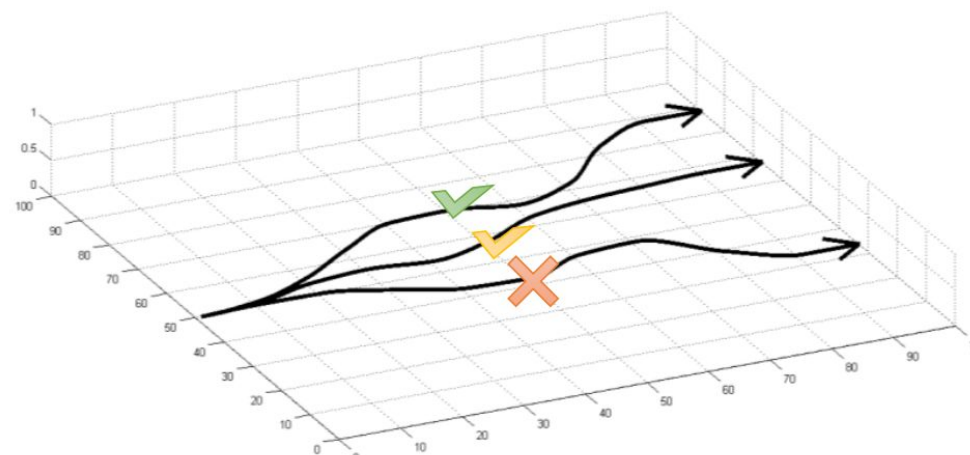
source: Sergey Levine, CS285

Gradient de politique

$$\frac{\partial J}{\partial \theta} = \mathbb{E}_{s, a \sim p_\theta} \left[\frac{\partial}{\partial \theta} \sum_{t=1}^T \log \pi_\theta(a_t | s_t) \underbrace{\sum_{t'=t}^T \gamma^{t'-t} r_{t'}}_{\text{"reward to go"}} \right] \quad \text{Estimable par échantillonnage !}$$

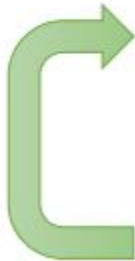
$$\frac{\partial J}{\partial \theta} \approx \sum_{i=1}^N \left[\frac{\partial}{\partial \theta} \sum_{t=1}^T \log \pi_\theta(a_t^i | s_t^i) \underbrace{\sum_{t'=t}^T \gamma^{t'-t} r_{t'}^i}_{\text{"reward to go"}} \right]$$

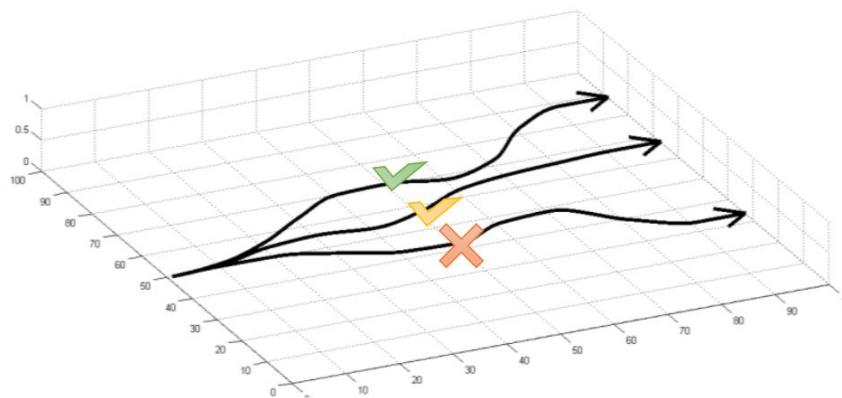
$$\theta \leftarrow \theta + \frac{\partial}{\partial \theta} J(\theta)$$



Gradient de politique

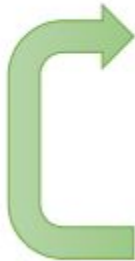
REINFORCE algorithm:

- 
1. sample $\{\tau^i\}$ from $\pi_\theta(\mathbf{a}_t|\mathbf{s}_t)$ (run the policy)
 2. $\nabla_\theta J(\theta) \approx \sum_i (\sum_t \nabla_\theta \log \pi_\theta(\mathbf{a}_t^i|\mathbf{s}_t^i)) (\sum_t r(\mathbf{s}_t^i, \mathbf{a}_t^i))$
 3. $\theta \leftarrow \theta + \alpha \nabla_\theta J(\theta)$

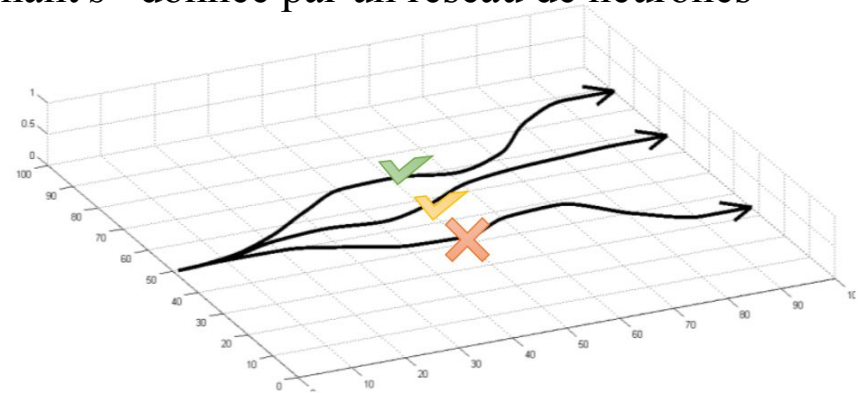


Gradient de politique

REINFORCE algorithm:

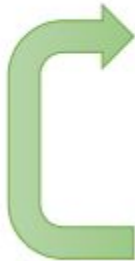
- 
1. sample $\{\tau^i\}$ from $\pi_\theta(\mathbf{a}_t|\mathbf{s}_t)$ (run the policy)
 2. $\nabla_\theta J(\theta) \approx \sum_i (\sum_t \nabla_\theta \log \pi_\theta(\mathbf{a}_t^i|\mathbf{s}_t^i)) (\sum_t r(\mathbf{s}_t^i, \mathbf{a}_t^i))$
 3. $\theta \leftarrow \theta + \alpha \nabla_\theta J(\theta)$

$\log \pi_\theta(a|s)$ “log-probabilité de a en sachant s ” donnée par un réseau de neurones



Gradient de politique

REINFORCE algorithm:

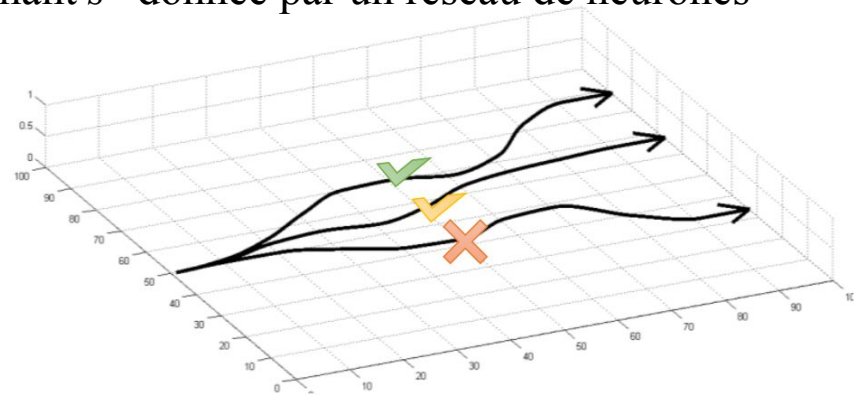
- 
1. sample $\{\tau^i\}$ from $\pi_\theta(\mathbf{a}_t|\mathbf{s}_t)$ (run the policy)
 2. $\nabla_\theta J(\theta) \approx \sum_i (\sum_t \nabla_\theta \log \pi_\theta(\mathbf{a}_t^i|\mathbf{s}_t^i)) (\sum_t r(\mathbf{s}_t^i, \mathbf{a}_t^i))$
 3. $\theta \leftarrow \theta + \alpha \nabla_\theta J(\theta)$

$\log \pi_\theta(a|s)$ “log-probabilité de a en sachant s ” donnée par un réseau de neurones

$$\pi_\theta(a|s) = \mathcal{N}(f_\theta(s); \Sigma)$$

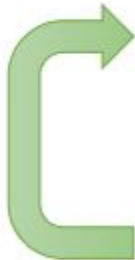
$$\log \pi_\theta(a|s) = -\frac{1}{2} \|(f_\theta(s) - a)\|_\Sigma^2 + \text{const}$$

$$\frac{\partial}{\partial \theta} \log \pi_\theta(a|s) = -\frac{1}{2} \Sigma^{-1} (f_\theta(s) - a) \frac{\partial f}{\partial \theta}$$



Gradient de politique

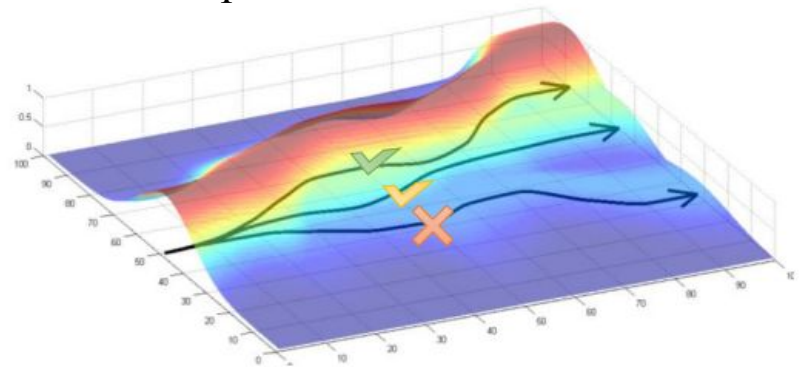
REINFORCE algorithm:

- 
1. sample $\{\tau^i\}$ from $\pi_\theta(\mathbf{a}_t|\mathbf{s}_t)$ (run the policy)
 2. $\nabla_\theta J(\theta) \approx \sum_i \left(\sum_t \nabla_\theta \log \pi_\theta(\mathbf{a}_t^i|\mathbf{s}_t^i) \right) \left(\sum_t r(\mathbf{s}_t^i, \mathbf{a}_t^i) \right)$
 3. $\theta \leftarrow \theta + \alpha \nabla_\theta J(\theta)$

$\log \pi_\theta(a|s)$ “log-probabilité de a en sachant s ” donnée par un réseau de neurones

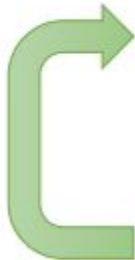
r élevé \rightarrow probabilité augmente

r bas \rightarrow probabilité décroît



Gradient de politique

REINFORCE algorithm:

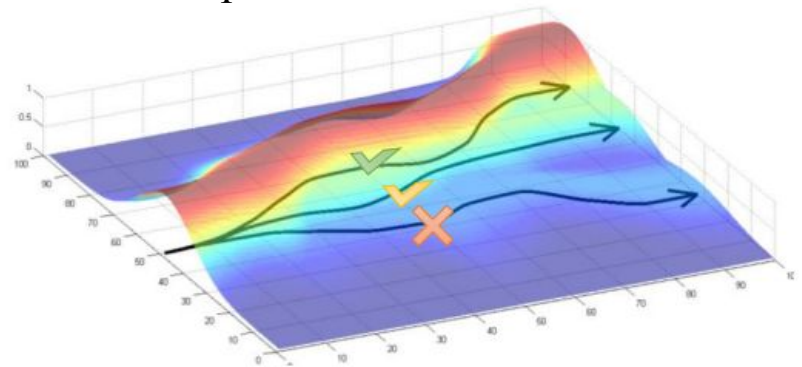
- 
1. sample $\{\tau^i\}$ from $\pi_\theta(\mathbf{a}_t|\mathbf{s}_t)$ (run the policy)
 2. $\nabla_\theta J(\theta) \approx \sum_i (\sum_t \nabla_\theta \log \pi_\theta(\mathbf{a}_t^i|\mathbf{s}_t^i)) (\sum_t r(\mathbf{s}_t^i, \mathbf{a}_t^i))$
 3. $\theta \leftarrow \theta + \alpha \nabla_\theta J(\theta)$

$\log \pi_\theta(a|s)$ “log-probabilité de a en sachant s ” donnée par un réseau de neurones

r élevé \rightarrow probabilité augmente

r bas \rightarrow probabilité décroît

Formalise la notion d'essais-erreur !



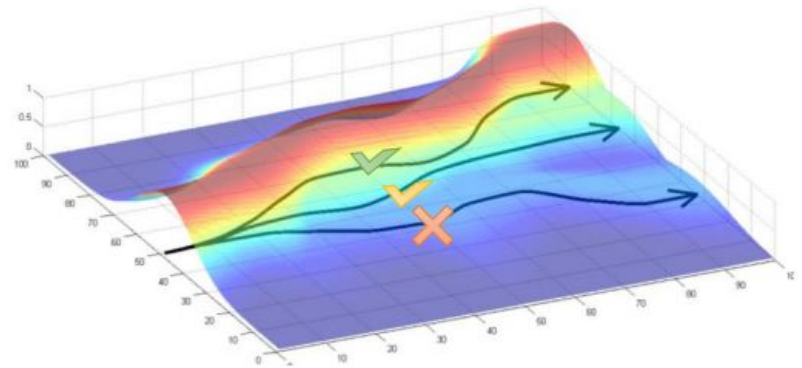
Gradient de politique

$$\frac{\partial J}{\partial \theta} \approx \sum_{i=1}^N \left[\frac{\partial}{\partial \theta} \sum_{t=1}^T \log \pi_{\theta}(a_t^i | s_t^i) \sum_{t'=t}^T \gamma^{t'-t} r_{t'}^i \right]$$

r élevé → probabilité augmente

r bas → probabilité décroît

Est-ce que c'est vraiment ce qui se passe ?



Gradient de politique

$$\frac{\partial J}{\partial \theta} \approx \sum_{i=1}^N \left[\frac{\partial}{\partial \theta} \sum_{t=1}^T \log \pi_{\theta}(a_t^i | s_t^i) \sum_{t'=t}^T \gamma^{t'-t} r_{t'}^i \right]$$

r élevé → probabilité augmente

r bas → probabilité décroît

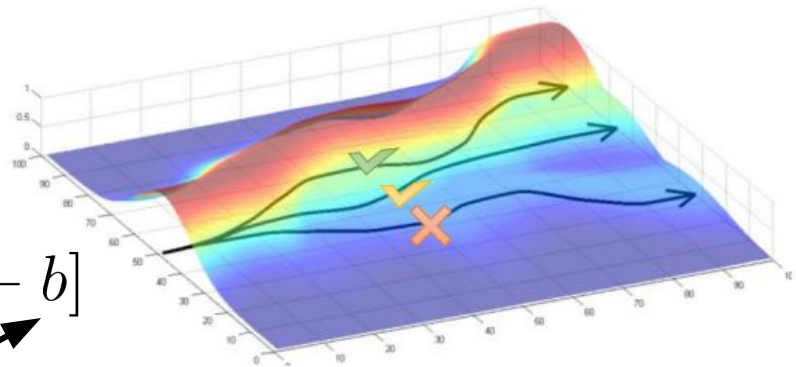
Est-ce que c'est vraiment ce qui se passe ?

Pas si les récompenses ne sont pas centrées

$$\frac{\partial J}{\partial \theta} \approx \sum_{i=1}^N \left[\frac{\partial}{\partial \theta} \sum_{t=1}^T \log \pi_{\theta}(a_t^i | s_t^i) f(x) \right]$$

$$\frac{\partial J}{\partial \theta} \approx \sum_{i=1}^N \left[\frac{\partial}{\partial \theta} \sum_{t=1}^T \log \pi_{\theta}(a_t^i | s_t^i) f(x) - b \right]$$

recentrer le “reward to go”



source: Sergey Levine, CS285

Gradient de politique

$$f(x) = \sum_t \gamma^t r(s_t, a_t) = Q(s_t, a_t)$$

$$\frac{\partial J}{\partial \theta} \approx \sum_{i=1}^N \left[\frac{\partial}{\partial \theta} \sum_{t=1}^T \log \pi_{\theta}(a_t^i | s_t^i) f(x) - b \right]$$

$$\frac{\partial J}{\partial \theta} \approx \sum_{i=1}^N \left[\frac{\partial}{\partial \theta} \sum_{t=1}^T \log \pi_{\theta}(a_t^i | s_t^i) Q(s_t^i, a_t^i) - b \right]$$

Comment recentrer ? En soustrayant la moyenne

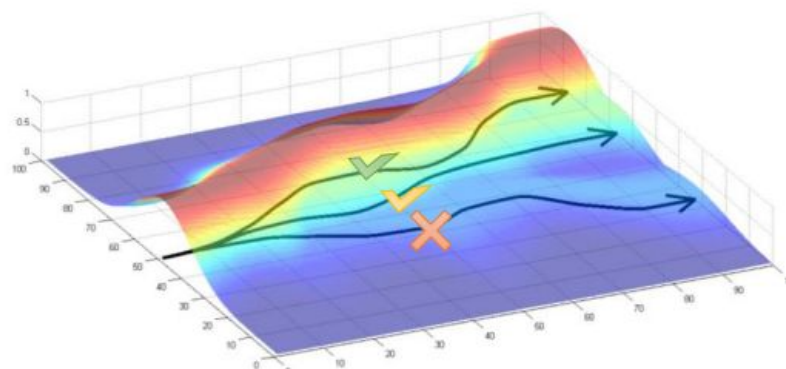
$$b = \frac{1}{N} \sum_i Q(s_t^i, a_t^i)$$

$$V(s_t) = \mathbb{E}_{a_t \sim \pi_{\theta}(s_t, a_t)} [Q(s_t, a_t)]$$

$$V(s_t) \approx b$$

$$A(s_t, a_t) = Q(s_t, a_t) - V(s_t)$$

$$\frac{\partial J}{\partial \theta} \approx \sum_{i=1}^N \left[\frac{\partial}{\partial \theta} \sum_{t=1}^T \log \pi_{\theta}(a_t^i | s_t^i) A(s_t^i, a_t^i) \right]$$



source: Sergey Levine, CS285

Gradient de politique

$$f(x) = \sum_t \gamma^t r(s_t, a_t) = Q(s_t, a_t)$$

$$\frac{\partial J}{\partial \theta} \approx \sum_{i=1}^N \left[\frac{\partial}{\partial \theta} \sum_{t=1}^T \log \pi_{\theta}(a_t^i | s_t^i) f(x) - b \right]$$

$$\frac{\partial J}{\partial \theta} \approx \sum_{i=1}^N \left[\frac{\partial}{\partial \theta} \sum_{t=1}^T \log \pi_{\theta}(a_t^i | s_t^i) Q(s_t^i, a_t^i) - b \right]$$

Comment recentrer ? En soustrayant la moyenne

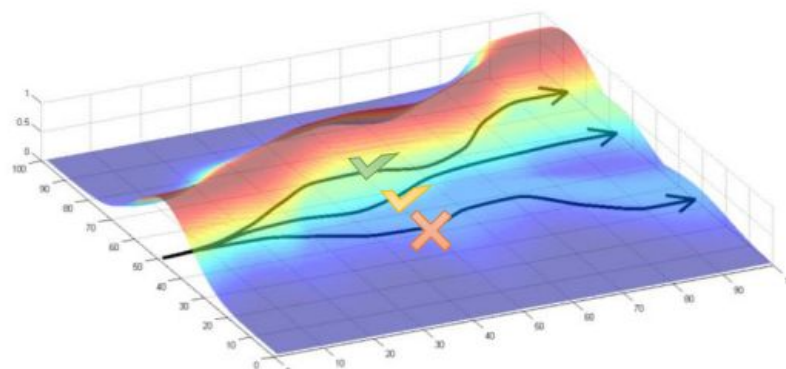
$$b = \frac{1}{N} \sum_i Q(s_t^i, a_t^i)$$

$$V(s_t) = \mathbb{E}_{a_t \sim \pi_{\theta}(s_t, a_t)} [Q(s_t, a_t)]$$

$$V(s_t) \approx b$$

$$A(s_t, a_t) = Q(s_t, a_t) - V(s_t)$$

$$\frac{\partial J}{\partial \theta} \approx \sum_{i=1}^N \left[\frac{\partial}{\partial \theta} \sum_{t=1}^T \log \pi_{\theta}(a_t^i | s_t^i) A(s_t^i, a_t^i) \right]$$



source: Sergey Levine, CS285

Gradient de politique

$$\frac{\partial J}{\partial \theta} \approx \sum_{i=1}^N \left[\frac{\partial}{\partial \theta} \sum_{t=1}^T \log \pi_{\theta}(a_t^i | s_t^i) A(s_t^i, a_t^i) \right]$$

$$Q(s_t^i, a_t^i) = \sum_{t'=t}^T \mathbb{E}_{\pi_{\theta}} [y^{t'-t} r'_t] \quad \text{Récompense à venir}$$

$$V^{\pi}(s_t) = \mathbb{E}_{a_t \sim \pi_{\theta}} Q^{\pi}(s_t, a_t) \quad \text{Espérance de la récompense à venir}$$

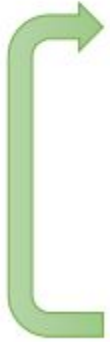
$$A^{\pi}(s_t, a_t) = Q^{\pi}(s_t, a_t) - V^{\pi}(s_t) \quad \text{“À quel point ce qui s’est produit est différent de ce à quoi on s’attendait”}$$

$$A^{\pi}(s_t, a_t) \approx r(s_t, a_t) + V^{\pi}(s_{t+1}) - V^{\pi}(s_t)$$

On peut apprendre l’avantage par *bootstrapping* !

Acteur-critique

batch actor-critic algorithm:

- 
1. sample $\{\mathbf{s}_i, \mathbf{a}_i\}$ from $\pi_\theta(\mathbf{a}|\mathbf{s})$ (run it on the robot)
 2. fit $\hat{V}_\phi^\pi(\mathbf{s})$ to sampled reward sums
 3. evaluate $\hat{A}^\pi(\mathbf{s}_i, \mathbf{a}_i) = r(\mathbf{s}_i, \mathbf{a}_i) + \gamma \hat{V}_\phi^\pi(\mathbf{s}'_i) - \hat{V}_\phi^\pi(\mathbf{s}_i)$
 4. $\nabla_\theta J(\theta) \approx \sum_i \nabla_\theta \log \pi_\theta(\mathbf{a}_i|\mathbf{s}_i) \hat{A}^\pi(\mathbf{s}_i, \mathbf{a}_i)$
 5. $\theta \leftarrow \theta + \alpha \nabla_\theta J(\theta)$

Degrís, T., Pilarski, P. M., & Sutton, R. S. (2012, June). Model-free reinforcement learning with continuous action in practice. In *2012 American Control Conference (ACC)* (pp. 2177-2182). IEEE.

Mnih, V., Badia, A. P., Mirza, M., Graves, A., Lillicrap, T., Harley, T., ... & Kavukcuoglu, K. (2016, June). Asynchronous methods for deep reinforcement learning. In *International conference on machine learning* (pp. 1928-1937). PMLR.

Schulman, J., Wolski, F., Dhariwal, P., Radford, A., & Klimov, O. (2017). Proximal policy optimization algorithms. *arXiv preprint arXiv:1707.06347*.

Acteur-critique



<https://www.youtube.com/watch?v=Tg0Dyu3iQek>

source: Sergey Levine, CS285

Types d'apprentissage par renforcement

- *Model-free* (ce qu'on a vu)
- *Imitation learning*: “apprentissage supervisé” pour l'AR
- *Model-based* : apprendre un modèle de l'environnement pour planifier les actions
- *Offline-reinforcement learning*: Apprendre à partir d'un ensemble de données fixe
- *Inverse reinforcement learning*: Apprendre la récompense et la politique conjointement

Avantages de l'AR

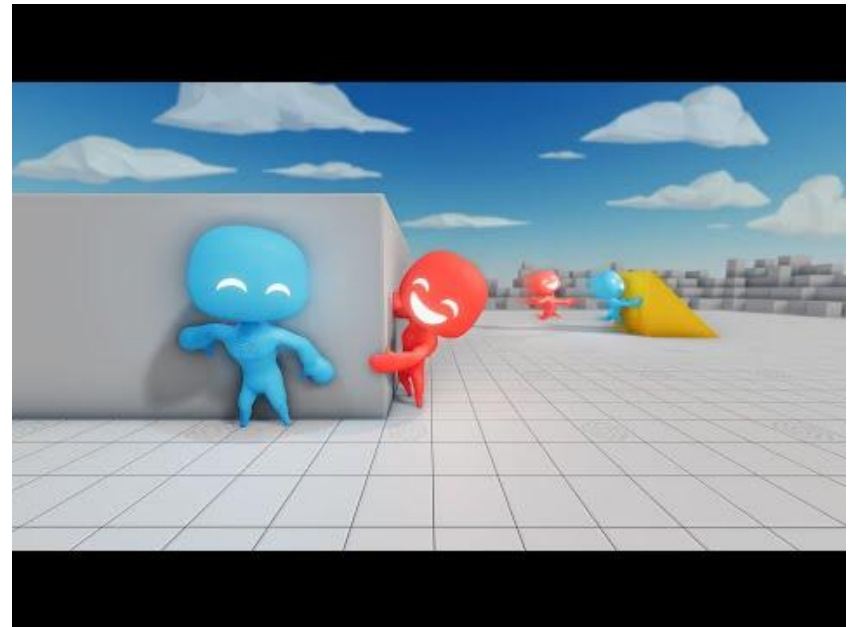
- Pas besoin de données annotées
- Permet d'attaquer des problèmes plus complexes
- Généralise mieux

Avantages de l'AR

- Pas besoin de données annotées
- Permet d'attaquer des problèmes plus complexes
- Généralise mieux
- *Vraiment cool*



<https://www.youtube.com/watch?v=KPLYhRBCcvk>



<https://www.youtube.com/watch?v=kopoLzvh5jY>



Contents lists available at ScienceDirect

Artificial Intelligence

www.elsevier.com/locate/artint



Reward is enough

David Silver*, Satinder Singh, Doina Precup, Richard S. Sutton

ARTICLE INFO

Article history:

Received 12 November 2020

Received in revised form 28 April 2021

Accepted 12 May 2021

Available online 24 May 2021

Keywords:

Artificial intelligence

Artificial general intelligence

Reinforcement learning

Reward

ABSTRACT

In this article we hypothesise that intelligence, and its associated abilities, can be understood as subserving the maximisation of reward. Accordingly, reward is enough to drive behaviour that exhibits abilities studied in natural and artificial intelligence, including knowledge, learning, perception, social intelligence, language, generalisation and imitation. This is in contrast to the view that specialised problem formulations are needed for each ability, based on other signals or objectives. Furthermore, we suggest that agents that learn through trial and error experience to maximise reward could learn behaviour that exhibits most if not all of these abilities, and therefore that powerful reinforcement learning agents could constitute a solution to artificial general intelligence.

© 2021 The Authors. Published by Elsevier B.V. This is an open access article under the CC BY-NC-ND license (<http://creativecommons.org/licenses/by-nc-nd/4.0/>).

Désavantages de l'AR

- Définir une récompense est *complexe*

when you thought everything would be
easy peasy lemon squeezy but it's
actually difficult difficult lemon difficult



Désavantages de l'AR

- Définir une récompense est *complexe*

when you thought everything would be
easy peasy lemon squeezy but it's
actually difficult difficult lemon difficult



BLOG POST
RESEARCH

21 APR 2020

Specification gaming: the flip side of AI ingenuity

<https://www.deepmind.com/blog/specification-gaming-the-flip-side-of-ai-ingenuity>

Désavantages de l'AR

- Définir une récompense est *complexe*



when you thought everything would be
easy peasy lemon squeezy but it's
actually difficult difficult lemon difficult



BLOG POST
RESEARCH

21 APR 2020

Specification gaming: the flip side of AI ingenuity

<https://www.deepmind.com/blog/specification-gaming-the-flip-side-of-ai-ingenuity>

Désavantages de l'AR

- Définir une récompense est *complexe*
- Rien n'est stationnaire



when you thought everything would be
easy peasy lemon squeezy but it's
actually difficult difficult lemon difficult



BLOG POST
RESEARCH

21 APR 2020

Specification gaming: the flip side of AI ingenuity

<https://www.deepmind.com/blog/specification-gaming-the-flip-side-of-ai-ingenuity>

Désavantages de l'AR

- Définir une récompense est *complexe*
- Rien n'est stationnaire
- Exploration vs. exploitation



when you thought everything would be
easy peasy lemon squeezy but it's
actually difficult difficult lemon difficult



BLOG POST
RESEARCH

21 APR 2020

Specification gaming: the flip side of AI ingenuity

<https://www.deepmind.com/blog/specification-gaming-the-flip-side-of-ai-ingenuity>

Désavantages de l'AR

- Définir une récompense est *complexe*
- Rien n'est stationnaire
- Exploration vs. exploitation
- Difficile à implémenter



when you thought everything would be
easy peasy lemon squeezy but it's
actually difficult difficult lemon difficult



BLOG POST
RESEARCH

21 APR 2020

Specification gaming: the flip side of AI ingenuity

<https://www.deepmind.com/blog/specification-gaming-the-flip-side-of-ai-ingenuity>

Conclusion

- L'apprentissage par renforcement se distingue de l'apprentissage (auto-)supervisé en utilisant un environnement et une fonction de récompense
- *Q-learning* prédit le retour futur et choisi les actions maximisant la récompense
- *Policy gradient* apprend la bonne politique directement

